

บทที่ 5

อัลกอริทึมดับเบิลอีลิพส์แบบโนมิดไฟย

5.1 อัลกอริทึมดับเบิลอีลิพส์แบบโนมิดไฟย

ในส่วนนี้เราจะวิเคราะห์อัลกอริทึมดับเบิลอีลิพส์ที่มีค่ายกกำลัง p เท่ากับ 1 เพื่อให้ง่ายต่อการทำศึกษา ลักษณะของสมการอัลกอริทึมดับเบิลอีลิพส์ที่มีค่ายกกำลังเท่ากับ p มีรูปแบบดังนี้

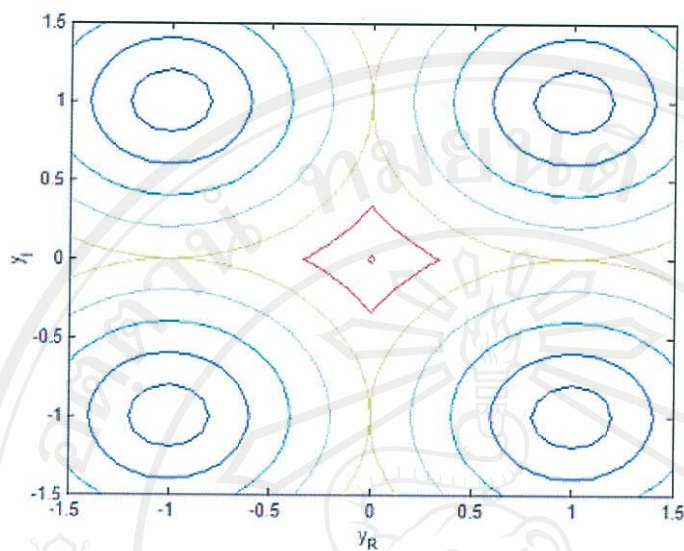
$$J_{GDEA}(n) = E \left[\left(\frac{y_R^2}{R_1} + \frac{y_I^2}{R_2} - R_{CMA}^2 \right)^p \cdot \left(\frac{y_R^2}{R_2} + \frac{y_I^2}{R_1} - R_{CMA}^2 \right)^p \right] \quad (5.1)$$

เราเรียกอัลกอริทึมที่มีค่ายกกำลัง p เท่ากับ 1 ว่า อัลกอริทึมดับเบิลอีลิพส์แบบโนมิดไฟย เนื่องจาก ลักษณะของพื้นผิวcostที่ฟังก์ชัน (Cost Function) ของอัลกอริทึมนี้มีลักษณะที่คล้ายคลึงกับ พื้นผิวcostที่ฟังก์ชันของอัลกอริทึมรีดิวคอนสเตลเลชัน(Reduced Constellation Algorithm : RCA) สำหรับอัลกอริทึมรีดิวคอนสเตลเลชันแล้ว บริเวณโครงร่างของความผิดพลาดที่เท่ากับศูนย์ จะมีลักษณะเป็นจุด 4 จุด แต่อัลกอริทึมดับเบิลอีลิพส์แบบโนมิดไฟยจะเป็นหลุม 4 หลุม และหลุมทั้ง 4 นี้ มีค่าต่ำกว่าศูนย์ ซึ่งตำแหน่งของหลุมนั้นถูกหมุนไป $\frac{\pi}{4}$ เรเดียน เทียบกับตำแหน่งของจุดใน

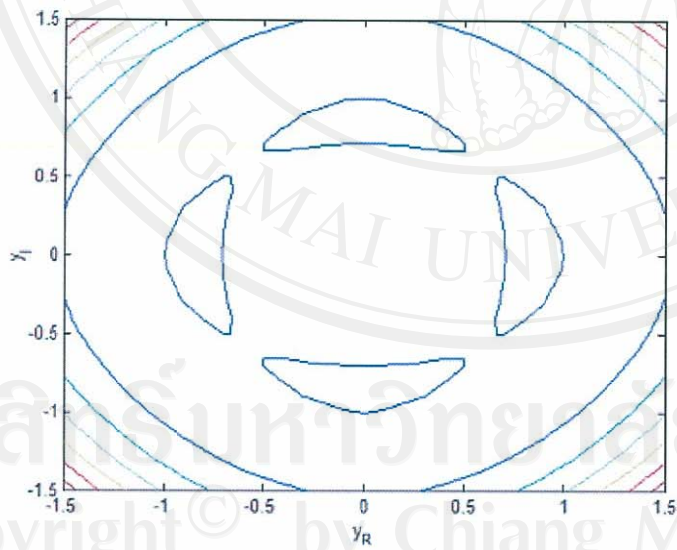
อัลกอริทึมรีดิวคอนสเตลเลชันด้วยเหตุนี้ ระบบตามอัลกอริทึมดับเบิลอีลิพส์แบบโนมิดไฟยไม่ได้ใช้ ส่วนที่เป็นเส้นวงรีสองวงในการลดการกระจายของผลลัพธ์ที่ได้จากอีควาไලเซอร์ (Equalizer) แต่ ใช้หลุมทั้ง 4 ในการปรับ ความคลายคลึงกันระหว่างพื้นผิวcostที่ฟังก์ชันสามารถพิจารณาได้จาก ภาพที่แสดงถึงมุ่งมองจากด้านบนของพื้นผิวcostที่ฟังก์ชัน โดยพิจารณาได้จากรูปที่ 5.1 ซึ่งบริเวณ ที่ทำให้ค่าcostที่ฟังก์ชันมีปริมาณน้อยนั้น คือ 4 จุด ที่ตำแหน่ง $(1, 1)$, $(1, -1)$, $(-1, 1)$ และ $(-1, -1)$ สำหรับบริเวณที่เป็นหลุมตามอัลกอริทึมดับเบิลอีลิพส์แบบโนมิดไฟยจะอยู่บริเวณ ทรงครึ่งวงกลม บนทั้ง 4 แห่ง (พิจารณาจากรูปที่ 5.2) ถึงแม้ว่าจะไม่คล้ายคลึงกันมาก แต่ก็มีลักษณะการทำงานที่ เหมือนกัน ต่อไปเราจะวิเคราะห์คุณสมบัติของอัลกอริทึมดับเบิลอีลิพส์แบบโนมิดไฟย

จากสมการcostที่ฟังก์ชันสำหรับอัลกอริทึมดับเบิลอีลิพส์แบบโนมิดไฟย

$$J_{MDEA}(n) = E \left[\left(\frac{y_R(n)^2}{R_1} + \frac{y_I(n)^2}{R_2} - R_{CMA}^2 \right) \cdot \left(\frac{y_R(n)^2}{R_2} + \frac{y_I(n)^2}{R_1} - R_{CMA}^2 \right) \right] \quad (5.2)$$



รูปที่ 5.1 ลักษณะมนุษย์ด้านบนของพื้นผิวโคสท์ฟังก์ชันตามแนวคิด
อัลกอริทึมรีคิวคอนสเตลเลชัน



รูปที่ 5.2 ลักษณะมนุษย์ด้านบนของพื้นผิวโคสท์ฟังก์ชันตามแนวคิด
อัลกอริทึมดับเบิลอิลิพส์แบบโนดิฟาย

เพื่อที่จะได้สมการที่ใช้ในการปรับค่าสัมประสิทธิ์ (Coefficient) ของอีคิว่าไอลเซอร์ เราหาค่าของอนุพันธ์ยันดับที่ 1 ของสมการที่ (5.2) เพียงกับค่าสัมประสิทธิ์ของอีคิว่าไอลเซอร์

$$\nabla_c J_{MDEA}(n) = E \left[\left\{ \left(\left(\frac{y_R(n)^2}{R_1} + \frac{y_I(n)^2}{R_2} - R_{CMA}^2 \right) \cdot \frac{1}{R_1} \right. \right. \right. \\ \left. \left. + \left(\frac{y_R(n)^2}{R_2} + \frac{y_I(n)^2}{R_1} - R_{CMA}^2 \right) \cdot \frac{1}{R_2} \right) \cdot y_R(n) \right. \\ \left. \left. + j \cdot \left(\left(\frac{y_R(n)^2}{R_1} + \frac{y_I(n)^2}{R_2} - R_{CMA}^2 \right) \cdot \frac{1}{R_2} \right. \right. \right. \\ \left. \left. \left. + \left(\frac{y_R(n)^2}{R_2} + \frac{y_I(n)^2}{R_1} - R_{CMA}^2 \right) \cdot \frac{1}{R_1} \right) \cdot y_I(n) \right\} \cdot x(n)^* \right] \quad (5.3)$$

ประมาณค่าฟังก์ชันการคาดหมายด้วยค่าในขณะนี้ เราจะได้สมการที่ใช้ในการปรับค่าสัมประสิทธิ์ตามอัลกอริทึ่มดับเบิลอีลิพส์แบบโมดิฟาย อธิบายด้วยสมการ

$$c_{n+1} = c_n - \alpha \cdot \left[\left(\left(\frac{y_R(n)^2}{R_1} + \frac{y_I(n)^2}{R_2} - R_{CMA}^2 \right) \cdot \frac{1}{R_2} \right. \right. \\ \left. \left. + \left(\frac{y_R(n)^2}{R_2} + \frac{y_I(n)^2}{R_1} - R_{CMA}^2 \right) \cdot \frac{1}{R_1} \right) \cdot y_R(n) \right. \\ \left. \left. + j \cdot \left(\left(\frac{y_R(n)^2}{R_1} + \frac{y_I(n)^2}{R_2} - R_{CMA}^2 \right) \cdot \frac{1}{R_1} \right. \right. \right. \\ \left. \left. \left. + \left(\frac{y_R(n)^2}{R_2} + \frac{y_I(n)^2}{R_1} - R_{CMA}^2 \right) \cdot \frac{1}{R_2} \right) \cdot y_I(n) \right\} \cdot x(n)^* \right] \quad (5.4)$$

5.2 ค่าคงที่ของอัลกอริทึ่มดับเบิลอีลิพส์แบบโมดิฟาย

เข่นเดียวกันกับอัลกอริทึ่มดับเบิลอีลิพส์แบบแอดโพโซลูท ค่าคงที่ของอัลกอริทึ่มดับเบิลอีลิพส์แบบโมดิฟายในที่นี้คือ ตัวแปร R_1 และ R_2 ที่ใช้กำหนดแกนหลักและแกนรอง เราสามารถที่จะหาสมการที่ใช้คำนวนค่าคงที่ของอัลกอริทึ่มดับเบิลอีลิพส์แบบโมดิฟาย โดยการกำหนดให้ค่าของอนุพันธ์ยันดับที่ 1 ของสมการที่ (5.2) มีค่าเท่ากับศูนย์ หลังจากนั้นสมมุติให้ระบบอีคิว่าไอลเซอร์ของเรางานารถทำอีคิว่าไอลเซอร์กับช่องสัญญาณ ได้อย่างสมบูรณ์

สมมุติฐานข้างต้น อธิบายได้จากสมการดังนี้

$$y(n) \rightarrow s(n) \quad \text{สำหรับทุกๆ } n \quad (5.5)$$

จากสมการที่ (5.3) มีค่าเท่ากับ 0 และสมการที่ (5.5) เราจะทิ้งข้อมูลเกี่ยวกับเวลา

$$\begin{aligned} \nabla_c J_{MDEA} = E & \left[\left\{ \left(\left(\frac{s_R^2}{R_1} + \frac{s_I^2}{R_2} - R_{CMA}^2 \right) \cdot \frac{1}{R_1} \right. \right. \right. \\ & + \left(\frac{s_R^2}{R_2} + \frac{s_I^2}{R_1} - R_{CMA}^2 \right) \cdot \frac{1}{R_2} \Bigg) \cdot s_R \\ & + j \cdot \left(\left(\frac{s_R^2}{R_1} + \frac{s_I^2}{R_2} - R_{CMA}^2 \right) \cdot \frac{1}{R_2} \right. \\ & \left. \left. \left. + \left(\frac{s_R^2}{R_2} + \frac{s_I^2}{R_1} - R_{CMA}^2 \right) \cdot \frac{1}{R_1} \right) \cdot s_I \right\} \cdot s^* \right] = 0 \end{aligned} \quad (5.6)$$

โดยกำหนดให้ $R_2 = \beta \cdot R_1$ (β คือ อัตราส่วนระหว่างแกนหลักและแกนรอง) เมื่อทำการจัดรูปของสมการที่ (5.6) ให้เหมาะสม เราจะได้สมการที่ใช้ในการคำนวณหาค่าคงที่ตามของอัลกอริทึมดับเบิลอีลีพส์แบบโมดิฟาย ดังนี้

$$R_1 = \frac{E \left[\left\{ K_1 + j \cdot K_2 \right\} \cdot s^* \right]}{R_{CMA}^2 \cdot E \left[\left\{ s_R(n) + \frac{s_R(n)}{\beta} + j \cdot \left(s_I(n) + \frac{s_I(n)}{\beta} \right) \right\} \cdot s^* \right]} \quad (5.7)$$

โดยที่

$$K_1 = 2 \cdot \frac{s_R^3}{\beta} + s_I^2 \cdot s_R + \frac{s_I^2 \cdot s_R}{\beta^2} \quad (5.8)$$

$$K_2 = 2 \cdot \frac{s_I^3}{\beta} + s_I^2 \cdot s_R + \frac{s_R^2 \cdot s_I}{\beta^2} \quad (5.9)$$

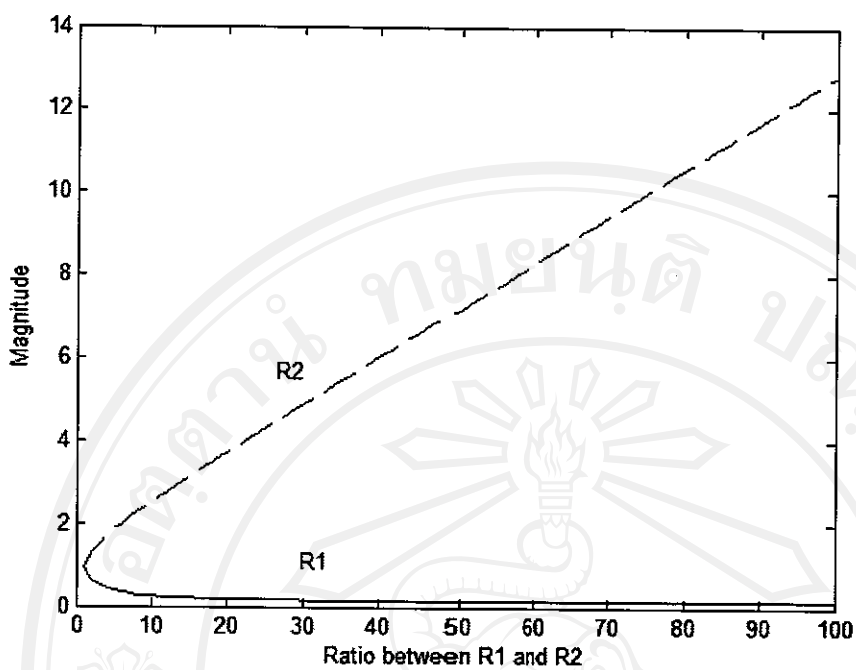
โดยที่ค่า s คือ สัญญาณข้อมูลที่ถูกหมุนคอนสเตลเลชันไป $\frac{\pi}{4}$ เรเดียน

ตารางที่ 5.1 แสดงค่าของค่าคงที่ของอัลกอริทึมดับเบิลอีลิพส์แบบโมดิฟายสำหรับสัญญาณข้อมูลแบบ QAM ที่อัตราส่วนของแกนหลักและแกนรองตั้งแต่ 2 ถึง 20 ซึ่งจากข้อมูลภายในตาราง เรายังสามารถคำนวณค่าคงที่สำหรับอัลกอริทึมดับเบิลอีลิพส์แบบโมดิฟายเมื่อสัญญาณข้อมูลแบบ 64-QAM และ 256-QAM นั้น จะได้ค่าที่เท่ากัน

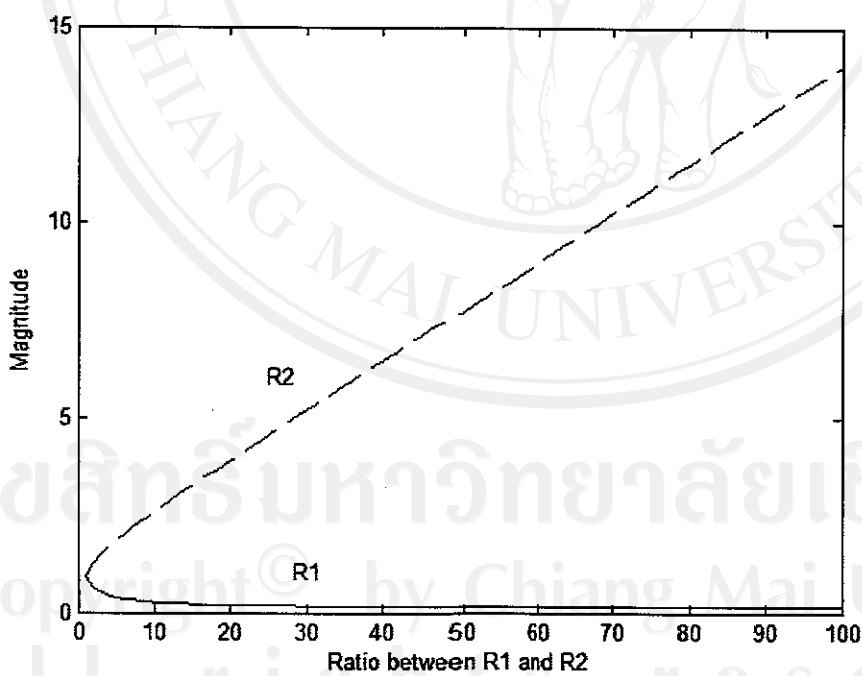
ตารางที่ 5.1 ค่าคงที่ R_1 และ R_2 สำหรับอัลกอริทึมดับเบิลอีลิพส์แบบโมดิฟาย

Ratio	16-QAM		64-QAM		256-QAM	
	R_1	R_2	R_1	R_2	R_1	R_2
2	0.6413	1.2826	0.6287	1.2574	0.6287	1.2574
3	0.5046	1.5137	0.4977	1.4932	0.4977	1.4932
4	0.4244	1.6976	0.4212	1.6849	0.4212	1.6849
5	0.3716	1.8579	0.3709	1.8547	0.3709	1.8547
6	0.3341	2.0047	0.3353	2.0119	0.3353	2.0119
7	0.3062	2.1432	0.3087	2.1612	0.3087	2.1612
8	0.2845	2.276	0.2882	2.3053	0.2882	2.3053
9	0.2672	2.4049	0.2717	2.4457	0.2717	2.4457
10	0.2531	2.5309	0.2583	2.5834	0.2583	2.5834
11	0.2413	2.6548	0.2472	2.7191	0.2472	2.7191
12	0.2314	2.777	0.2378	2.8534	0.2378	2.8534
13	0.2229	2.898	0.2297	2.9863	0.2297	2.9863
14	0.2156	3.0179	0.2227	3.1184	0.2227	3.1184
15	0.2091	3.137	0.2166	3.2496	0.2166	3.2496
16	0.2035	3.2553	0.2113	3.3802	0.2113	3.3802
17	0.1984	3.3731	0.2065	3.5103	0.2065	3.5103
18	0.1939	3.4904	0.2022	3.6399	0.2022	3.6399
19	0.1899	3.6073	0.1984	3.7691	0.1984	3.7691
20	0.1862	3.7239	0.1949	3.898	0.1949	3.898

จากตารางที่ 5.1 เราสังเกตได้ว่า ค่าคงที่ของอัลกอริทึมดับเบิลอีลิพส์แบบโมดิฟายสำหรับสัญญาณข้อมูลแบบ 64-QAM และ 256-QAM จะมีค่าเท่ากัน แต่สำหรับ 16-QAM จะแตกต่าง เราสามารถพิจารณาแนวโน้มของค่าคงที่ทั้งสองได้จากรูปที่ 5.3 ซึ่งอธิบายค่าคงที่สำหรับสัญญาณข้อมูลแบบ 16-QAM และรูปที่ 5.4 ซึ่งอธิบายค่าคงที่สำหรับสัญญาณข้อมูลแบบ 64-QAM และสัญญาณข้อมูลแบบ 256-QAM



รูปที่ 5.3 ค่าคงที่อัลกอริทึมดับเบิลเบิลอีลิพส์สำหรับสัญญาณข้อมูลแบบ 16-QAM



รูปที่ 5.4 ค่าคงที่อัลกอริทึมดับเบิลเบิลอีลิพส์สำหรับสัญญาณข้อมูลแบบ 64-QAM/256-QAM

จากรูปที่ 5.3 และ 5.4 เมื่อเราเพิ่มอัตราส่วนของแกนหลักและแกนรองขึ้น (ค่าคงที่ทั้งสองสำหรับอัลกอริทึมดับเบลยูลีพีส์แบบโมดิฟาย) ค่าของแกนรองจะลดลงอย่างช้าๆ และค่าแกนรองนี้จะมีค่าที่ใกล้เคียงกันสำหรับแต่ละอัตราส่วน ในทางตรงกันข้าม ค่าของแกนหลักจะเพิ่มขึ้นอย่างรวดเร็วเมื่ออัตราส่วนเพิ่มขึ้น ทิศทางของค่าคงที่ทั้งสองมีลักษณะดังนี้เนื่องจาก แกนหลักและแกนรองจะเป็นตัวกำหนดขนาดของผลลัพธ์ เพื่อที่จะให้ค่าของผลลัพธ์ที่เท่ากับค่าเดิม จึงมีการปรับแกนหลักให้เพิ่ม เพื่อดึงขนาดผลลัพธ์ให้ขยาย ในขณะที่แกนรองลดลง เพื่อดึงให้ขนาดผลลัพธ์เดิมลง

5.3 ผลการทดสอบประสิทธิภาพในการจำกัดอินเตอร์ซิมโบลอินเตอร์เฟียเรนซ์ของอัลกอริทึมดับเบลยูลีพีส์แบบโมดิฟาย

ในส่วนนี้ จะเป็นผลการเปรียบเทียบประสิทธิภาพของอัลกอริทึมดับเบลยูลีพีส์แบบโมดิฟายด้วยอัลกอริทึมคอนแสตนด์มอดูลัส (Constant Modulus Algorithm : CMA) และ อัลกอริทึมรีดิวคอนสเตรลเลชันผ่านทางการจำลองสถานการณ์บนสัญญาณข้อมูลแบบ QAM ที่ขนาด 16-QAM, 64-QAM และ 256-QAM

5.3.1 รูปแบบการทดสอบประสิทธิภาพ

ในจำลองการทำงาน (Simulation) เราจะใช้อีคิวไอลเซอร์ที่มีความยาวเท่า 9 โดยที่ค่าเริ่มต้นของเวกเตอร์ค่าสัมประสิทธิ์ของอีคิวไอลเซอร์นั้น ถูกกำหนดให้ค่าสมาชิกทุกตัวเท่ากับ 0 ยกเว้นตำแหน่งเดียวที่ถูกกำหนดให้มีค่าเท่ากับ 1 คือ สมาชิกตัวกลางของอีคิวไอลเซอร์ สัญญาณซองสัญญาณและการคำนวนค่าประสิทธิภาพของระบบถูก ใช้ชั้นเดียวกับการทดสอบประสิทธิภาพของอัลกอริทึมดับเบลยูลีพีส์แบบแอดพ ไซคูท ระบบตามแนวคิดต่างๆจะถูกนำมาทดสอบ โดยวัดความเร็วในการเข้าหาระดับ -24 dB ของประสิทธิภาพที่คำนวนได้สมการ (4.12)

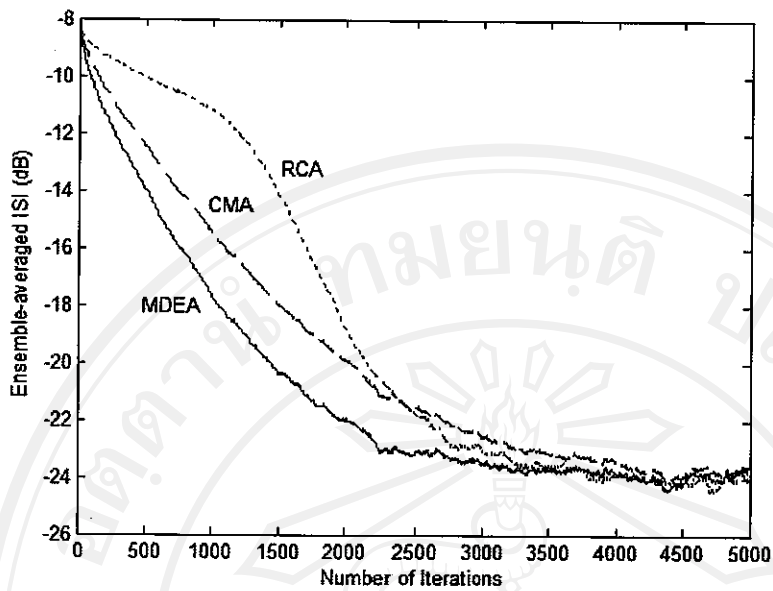
5.3.1.1 ผลการทดสอบที่ได้จากลักษณะสัญญาณข้อมูลแบบ 16-QAM

การทดสอบประสิทธิภาพของระบบ ในการจำกัดอินเตอร์ซิมโบลอินเตอร์เฟียเรนซ์ (Intersymbol Interference : ISI) ที่เกิดขึ้นกับสัญญาณข้อมูลแบบ 16-QAM นั้น เราจะกำหนดให้ค่าการเรียนรู้ของอัลกอริทึมคอนแสตนด์มอดูลัส และอัลกอริทึมรีดิวคอนสเตรลเลชันมีค่าเท่ากับ 0.0022 และ 0.0032 ตามลำดับ โดยที่เราจะทดสอบการทำงานของอัลกอริทึมดับเบลยูลีพีส์แบบโมดิฟาย ที่อัตราส่วนระหว่างแกนหลักและแกนรองเท่ากับ 2, 7 และ 22

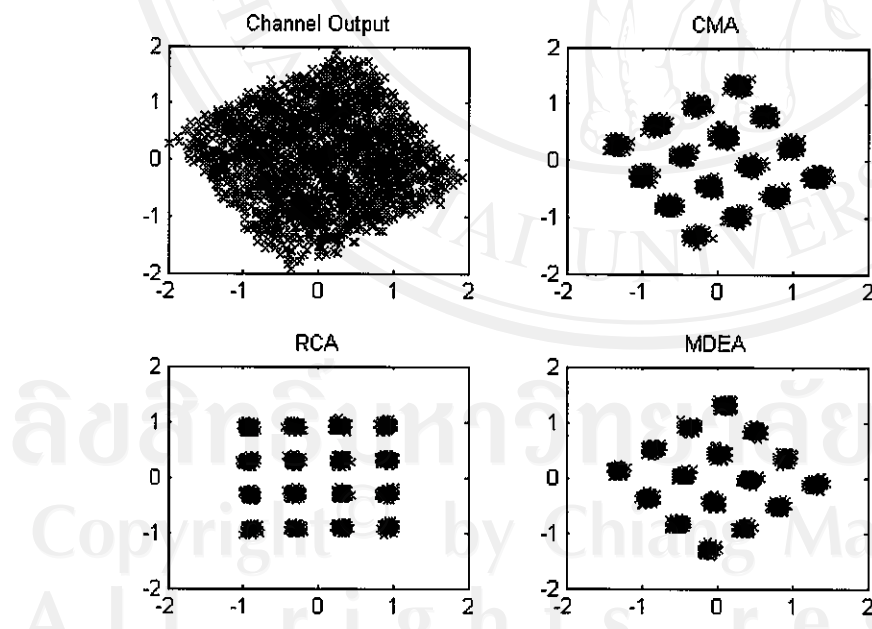
ในกรณีอัตราส่วนเท่ากับ 2 ค่าการเรียนรู้ของอัลกอริทึมดับเบิลอีลิพส์แบบโมดิฟายเท่ากับ 0.0012 เราสามารถเปรียบเทียบประสิทธิภาพได้จากรูปที่ 5.5 และ 5.6 เราสามารถจะสังเกตได้ว่า อัลกอริทึมดับเบิลอีลิพส์แบบโมดิฟายสามารถเข้าถึงระดับ -24 dB ได้รวดเร็วกว่าอัลกอริทึม กอนแสตนนมอดดูลัส และอัลกอริทึมรีคิวคอนสเตลเลชันแต่ผลลัพธ์ที่ได้จากอีคิวไอลเซอร์ของ อัลกอริทึมดับเบิลอีลิพส์แบบโมดิฟายนี้ ยังไม่ถูกปรับเพลสได้สมบูรณ์ที่จำนวนข้อมูลเท่ากับ 2500 ข้อมูล ในขณะที่อัลกอริทึมรีคิวคอนสเตลเลชันสามารถปรับเพลส ได้อย่างสมบูรณ์ แต่ผลลัพธ์ของ อัลกอริทึมรีคิวคอนสเตลเลชันยังแสดงให้เห็นถึงปริมาณอินเตอร์ซิม โนลอนเตอร์เฟียเรนซ์ที่สูงกว่า อัลกอริทึมดับเบิลอีลิพส์แบบโมดิฟาย ซึ่งสามารถสังเกตได้จากรูปที่ 5.6

ในกรณีอัตราส่วนเท่ากับ 7 ค่าการเรียนรู้ของอัลกอริทึมดับเบิลอีลิพส์แบบโมดิฟายเท่ากับ 0.0012 เราสามารถเปรียบเทียบประสิทธิภาพได้จากรูปที่ 5.7 และ 5.8 เราสามารถจะสังเกตได้ว่า อัลกอริทึมดับเบิลอีลิพส์แบบโมดิฟายสามารถเข้าถึงระดับ -24 dB ได้รวดเร็วมาก และผลลัพธ์ที่ได้ จากอีคิวไอลเซอร์ของอัลกอริทึมดับเบิลอีลิพส์แบบโมดิฟายนี้ ถูกปรับเพลสได้สมบูรณ์ที่จำนวน ข้อมูลเท่ากับ 2500 ข้อมูล

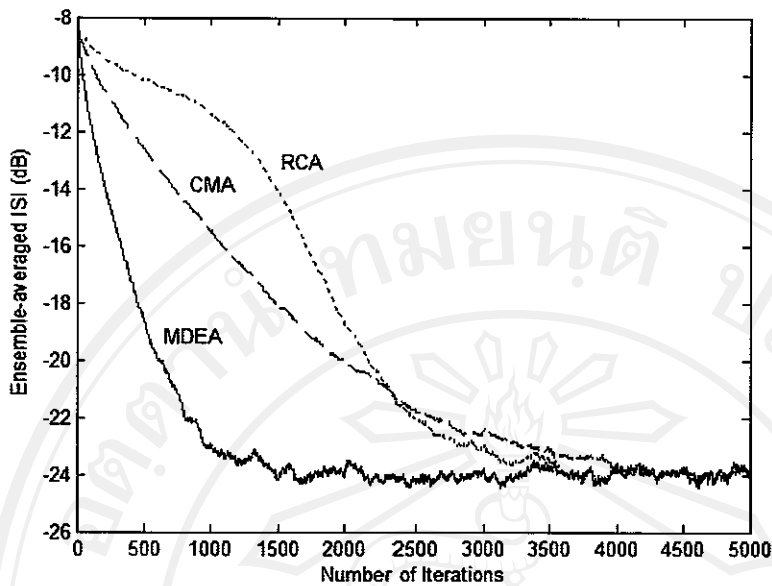
ในกรณีอัตราส่วนเท่ากับ 22 ค่าการเรียนรู้ของอัลกอริทึมดับเบิลอีลิพส์แบบโมดิฟายเท่ากับ 0.00024 เราสามารถเปรียบเทียบประสิทธิภาพได้จากรูปที่ 5.9 และ 5.10 เราสามารถจะสังเกตได้ว่า อัลกอริทึมดับเบิลอีลิพส์แบบโมดิฟายสามารถเข้าถึงระดับ -24 dB ได้เร็วกว่าอัลกอริทึม กอนแส ตนนมอดดูลัส และอัลกอริทึมรีคิวคอนสเตลเลชันถึงแม้ว่าผลลัพธ์ที่ได้จากอีคิวไอลเซอร์ของ อัลกอริทึมดับเบิลอีลิพส์แบบโมดิฟายนี้ ถูกปรับเพลสได้สมบูรณ์ที่จำนวนข้อมูลเท่ากับ 2500 ข้อมูล แต่ถ้าเราเปรียบเทียบรูปที่ 5.7 และ 5.9 เรายังพบว่า ความสามารถในการเข้าถึงระดับ -24 dB นั้น ข้างลงอย่างเห็นได้ชัด



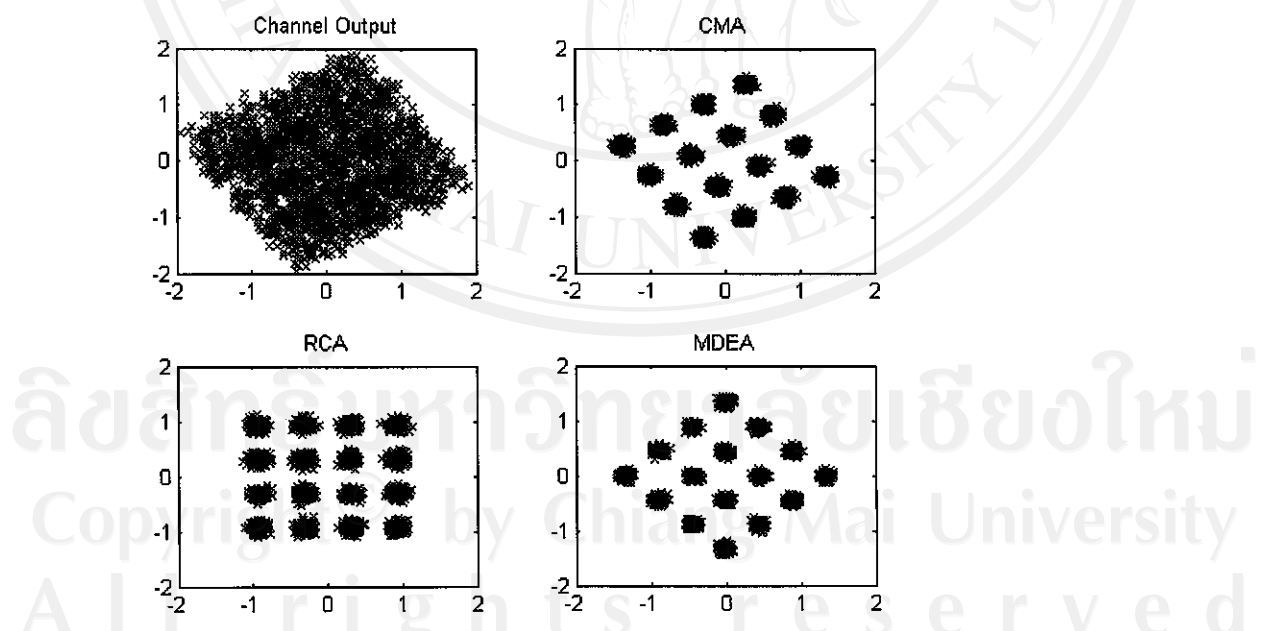
รูปที่ 5.5 แสดงระดับค่าเฉลี่ยของอินเตอร์ชิ้น โนบลอนเตอร์เพียเรนซ์ สำหรับสัญญาณข้อมูลแบบ 16-QAM เมื่ออัลกอริทึมดับเบิลอีลิพส์แบบไม่ดิฟายมีอัตราส่วนระหว่างแกนหลักและแกนรองเท่ากับ 2



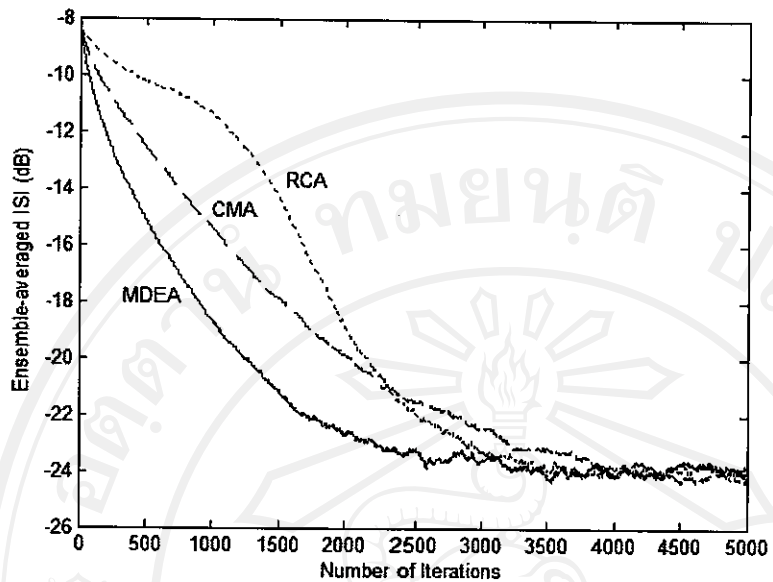
รูปที่ 5.6 แสดงผลลัพธ์ของระบบหลังจากใช้ข้อมูลไป 2500 จุด เมื่ออัลกอริทึมดับเบิลอีลิพส์แบบไม่ดิฟายมีอัตราส่วนระหว่างแกนหลักและแกนรองเท่ากับ 2



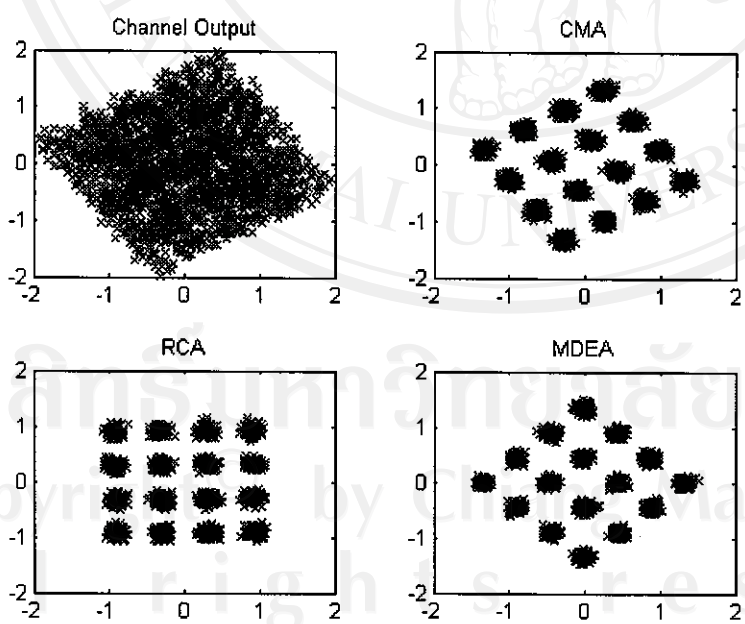
รูปที่ 5.7 แสดงระดับค่าเฉลี่ยของอินเตอร์ซิม โนบลอนเตอร์เพียเรนซ์ สำหรับสัญญาณข้อมูลแบบ 16-QAM เมื่ออัลกอริทึมดับเบิลอีลิพส์แบบโนดิฟายมีอัตราส่วนระหว่างแกนหลักและแกนรองเท่ากับ 7



รูปที่ 5.8 แสดงผลลัพธ์ของระบบหลังจากใช้ข้อมูลไป 2500 จุด เมื่ออัลกอริทึมดับเบิลอีลิพส์แบบโนดิฟายมีอัตราส่วนระหว่างแกนหลักและแกนรองเท่ากับ 7



รูปที่ 5.9 แสดงระดับค่าเฉลี่ยของอินเตอร์ชิม โบลอนเตอร์เพียเรนซ์ สำหรับสัญญาณข้อมูลแบบ 16-QAM เมื่ออัลกอริทึมคับเบิลอีลิพส์แบบ โนดิฟายมี อัตราส่วนระหว่างแกนหลักและแกนรองเท่ากับ 22



รูปที่ 5.10 แสดงผลลัพธ์ของระบบหลังจากใช้ข้อมูลไป 2500 จุด เมื่ออัลกอริทึมคับเบิลอีลิพส์แบบ โนดิฟายมีอัตราส่วนระหว่างแกนหลักและแกนรองเท่ากับ 22

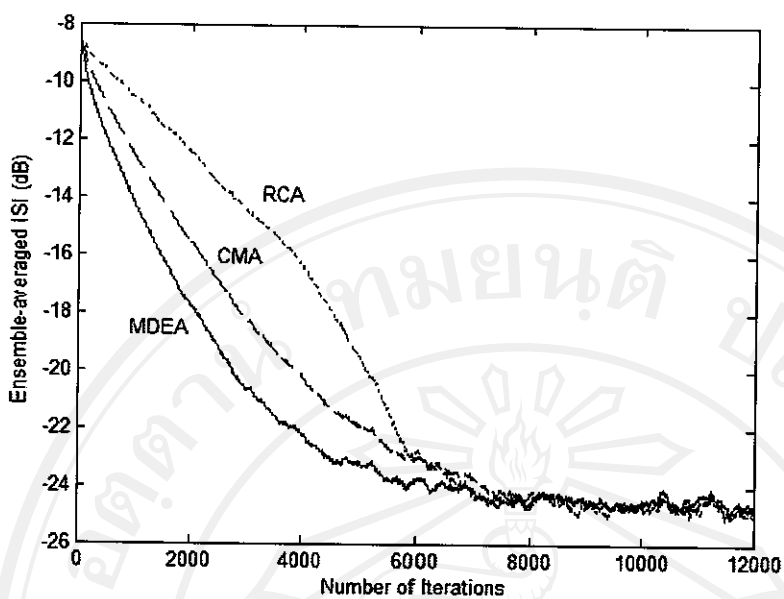
5.3.1.2 ผลการทดสอบที่ได้จากลักษณะสัญญาณข้อมูลแบบ 64-QAM

การทดสอบประสิทธิภาพของระบบ ใน การ กำ จ ด อ ิน เ ท อ ร์ ซ ิ น บ ो ล อ ი น เ ท อ ร์ ဖ ี ย ร ე ნ ซ ที่ ก ี ด ข ึ น ก ับ ส ัญ ญา ณ ข ื ่ อ mu ล แบบ 64-QAM น ั น เรา จ า หน ด ให ค า การ ร ე ย น ร ു ข ื ่ อ ง อ ล ก อ ริ ท ึ น ค օ น แ ศ ต น モ ด ค ุ ล ั ศ และ อ ล ก อ ริ ท ึ น ร ี ค ิ ว ค օ น ს တ ლ ล ে ช ั น ม ี ค ่า เ ท า ก ับ 0.0012 และ 0.0022 ตาม ล า ด ับ

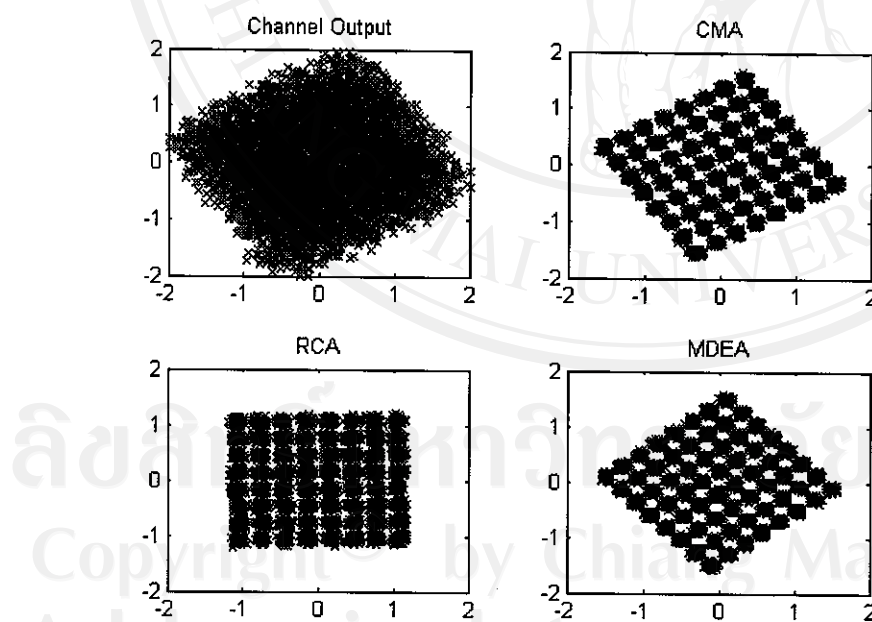
ใน กรณ ี อ ต ร า ส ่ ว น เ ท า ก ับ 2 ค า การ ร ე ย น ร ു ข ื ่ อ ง อ ล ก อ ริ ท ึ น ด ั บ บ ে լ อ ล ิ ပ ် แบบ โน ด ิ ฟ ა ย เ ท า ก ับ 0.00063 เรา สามารถ เป ร ี ย บ ประสิทธิภาพ ได จา ก ร ู ป ที่ 5.11 และ 5.12 เรา จ ี ง สร ุ ป ได ด ง น ี้ ถ ิ ง แม ่ ว า ผล ล ั ป ห ์ จาก อ ล ก อ ริ ท ึ น ร ี ค ิ ว ค օ น ส တ ล ล ে ช ั น จะ สามารถ ปร ร บ ဖ ေ စ ได ถ ูก ต อง แต ประ မ า ณ อ ิน เ ท อ ร์ ซ ิ น บ ो ล อ ი น เ ท อ ร์ ဖ ี ย ร ე น ซ ย ัง ส ู ง ก ว า ผล ล ั ป ห ์ ท ี่ ได จา ก อ ล ก อ ริ ท ึ น ค օ น แ ศ ต น モ ด ค ุ ล ั ศ และ อ ล ก อ ริ ท ึ น ด ั บ บ ে ล อ ล ิ ပ ် แบบ โน ด ิ ฟ ა ย เช ่น เด ิ ว ก ั น ก ับ ท ี่ ก ี ด ข ึ น ใน กรณ ี ส ัญ ญา ณ ข ื ่ อ mu ล แบบ 16-QAM อ ล ก อ ริ ท ึ น ด ั บ บ ে ล อ ล ิ ပ ် แบบ โน ด ิ ฟ ა ย ย ัง ปร ร บ ဖ ေ စ ได ယ ง ไม ่ สม บู รณ ท ี่ จำ น วน ข ื ่ อ mu ล เ ท า ก ับ 6000 ข ื ่ อ mu ล

ใน กรณ ี อ ต ร า ส ่ ว น เ ท า ก ับ 7 ค า การ ร ე ย น ร ു ข ื ่ อ ง อ ล ก อ ริ ท ึ น ด ั บ บ ে ล อ ล ิ ပ ် แบบ โน ด ิ ฟ ა ย เ ท า ก ับ 0.00048 เป ร ี ย บ ประสิทธิภาพ ได จา ก ร ู ป ที่ 5.13 และ 5.14 เรา สามารถ จ ะ ส ั ง ก ែ ត ได ว ា อ ล ก อ ริ ท ึ น ด ั บ บ ে ล อ ล ิ ပ ် แบบ โน ด ิ ฟ ა ย สามารถ เ ข ้า ล ى ง ระ ด บ -24 dB ได ร ວ ด เ ร ေ ว มาก และ ผล ล ั ป ห ์ ท ี่ ได จา ก อ ี ค ว า ໄ լ ေ ဇ ေ ာ ် ของ อ ล ก อ ริ ท ึ น ด ั บ บ ে ล อ ล ิ ပ ် น ေ น แบบ โน ด ิ ฟ ა ย ถ ูก ปร ร บ ဖ ေ စ ได สม บู รณ ท ี่ จำ น วน ข ื ่ อ mu ล เ ท า ก ับ 6000 ข ื ่ อ mu ล

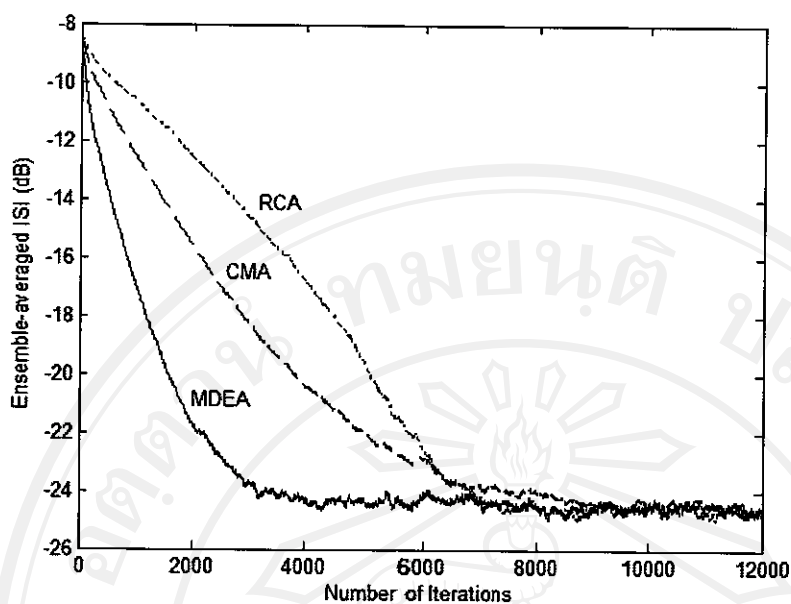
ใน กรณ ี อ ต ร า ส ่ ว น เ ท า ก ับ 22 ค า การ ร ე ย น ร ു ข ื ่ อ ง อ ล ก อ ริ ท ึ น ด ั บ บ ে ล อ ล ิ ပ ် แบบ โน ด ิ ฟ ა ย เ ท า ก ับ 0.000133 เป ร ี ย บ ประสิทธิภาพ ได จา ก ร ู ป ที่ 5.15 และ 5.16 เรา สามารถ จ ะ ส ั ง ก ែ ត ได ว ា อ ล ก อ ริ ท ึ น ด ั บ บ ে ล อ ล ิ ပ ် แบบ โน ด ิ ฟ ა ย สามารถ เ ข ้า ล ى ง ระ ด บ -24 dB ได ร ေ ว က ว ่า อ ล ก อ ริ ท ึ น ค օ น แ ศ ต น モ ด ค ุ ล ั ศ และ อ ล ก อ ริ ท ึ น ร ี ค ิ ว ค օ น ส တ ล ล ে ช ั น ซ ึ ง ร ะ บ น อ ล ก อ ริ ท ึ น ด ั บ บ ে ล อ ล ิ ပ ် แบบ โน ด ิ ฟ ა ย สามารถ ปร ร บ ဖ ေ စ ได สม บู รณ ท ี่ จำ น วน ข ื ่ อ mu ล เ ท า ก ับ 6000 ข ื ่ อ mu ล และ เช น เด ิ ว ก ั น ก ับ ผล ท ี่ ก ี ด ข ึ น เม ื่ อ ส ัญ ญา ณ ข ื ่ อ mu ล แบบ 16-QAM ประ ศ ิ ทธ ิ ภ า ப ของ อ ล ก อ ริ ท ึ น ด ั บ บ ে ล อ ล ิ ပ ် แบบ โน ด ิ ฟ ა ย ท ี่ อ ต ร า ส ่ ว น เ ท า ก ับ 22 จะ ด ံ บ လ ง เม ื่ อ เ ท ี ย บ ก ับ อ ล ก อ ริ ท ึ น ด ั บ บ ে ล อ ล ิ ပ ် แบบ โน ด ิ ฟ ა ย ท ี่ อ ต ร า ส ่ ว น เ ท า ก ับ 7



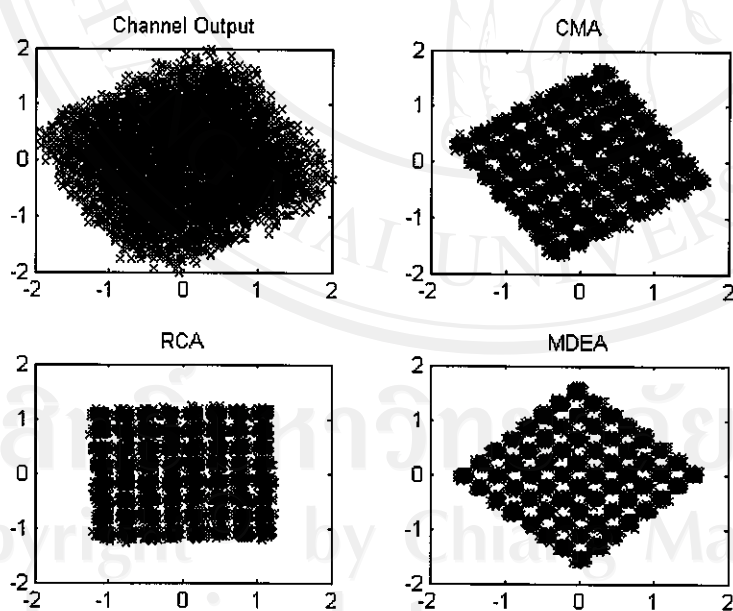
รูปที่ 5.11 แสดงระดับค่าเฉลี่ยของอินเตอร์ซัม โนบลินเตอร์เพียเรนซ์ สำหรับสัญญาณข้อมูลแบบ 64-QAM เมื่ออัลกอริทึมดับเบิลอีลิพส์แบบไม่ดิฟายมี อัตราส่วนระหว่างแกนหลักและแกนรองเท่ากับ 2



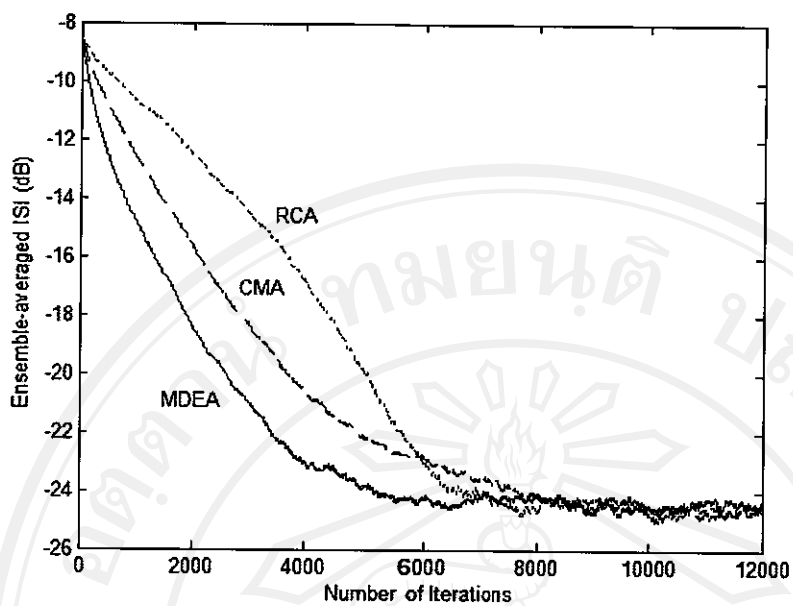
รูปที่ 5.12 แสดงผลลัพธ์ของระบบหลังจากใช้ข้อมูลไป 6000 ชุด เมื่ออัลกอริทึมดับเบิลอีลิพส์แบบไม่ดิฟายมีอัตราส่วนระหว่างแกนหลักและแกนรองเท่ากับ 2



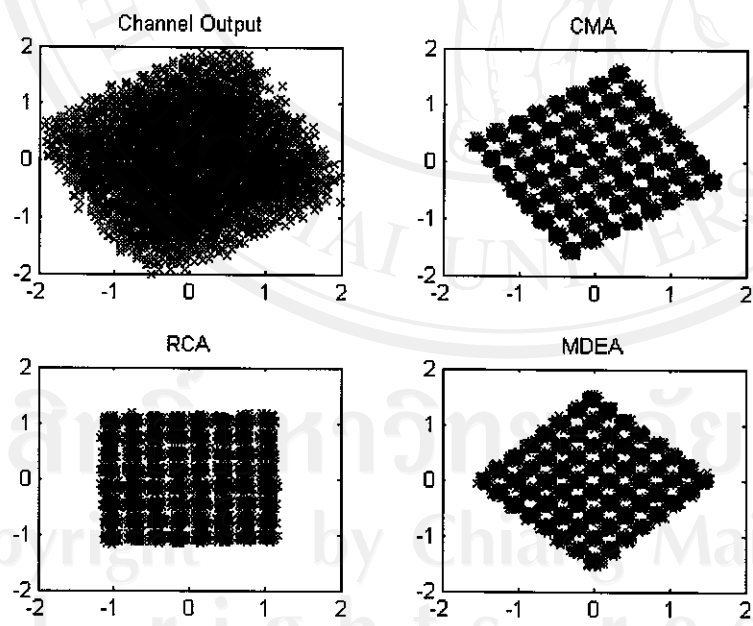
รูปที่ 5.13 แสดงระดับค่าเฉลี่ยของอินเตอร์ซิม โบลอกอินเตอร์เพียเรนซ์ สำหรับสัญญาณข้อมูลแบบ 64-QAM เมื่ออัลกอริทึมดับเบิลอีลิพส์แบบไม่ดิฟายมี อัตราส่วนระหว่างแกนหลักและแกนรองเท่ากับ 7



รูปที่ 5.14 แสดงผลลัพธ์ของระบบหลังจากใช้ข้อมูลไป 6000 จุด เมื่ออัลกอริทึมดับเบิลอีลิพส์แบบไม่ดิฟายมีอัตราส่วนระหว่างแกนหลักและแกนรองเท่ากับ 7



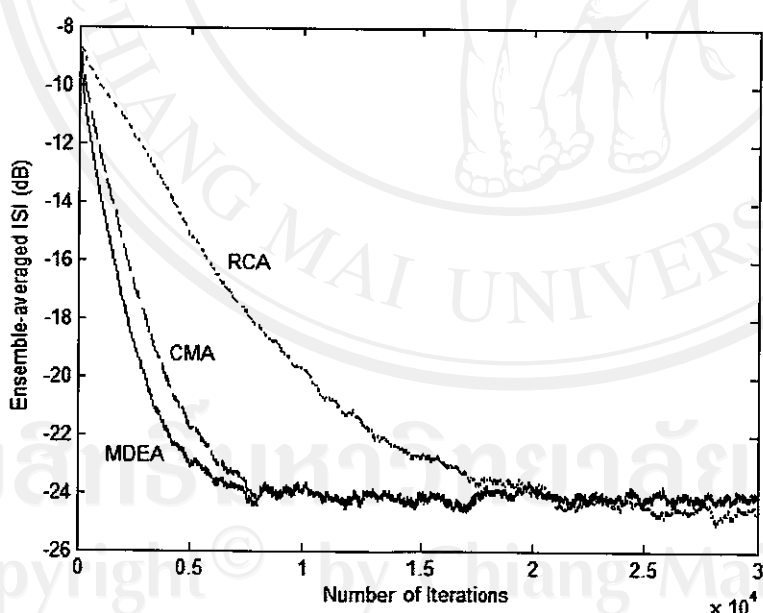
รูปที่ 5.15 แสดงระดับค่าเฉลี่ยของอินเตอร์ซิม โนบลอนเตอร์เพียร์นช์ สำหรับสัญญาณข้อมูล
แบบ 64-QAM เมื่ออัลกอริทึมคับเบิลอีลิพส์แบบโมดิฟายมี
อัตราส่วนระหว่างแกนหลักและแกนรองเท่ากับ 22



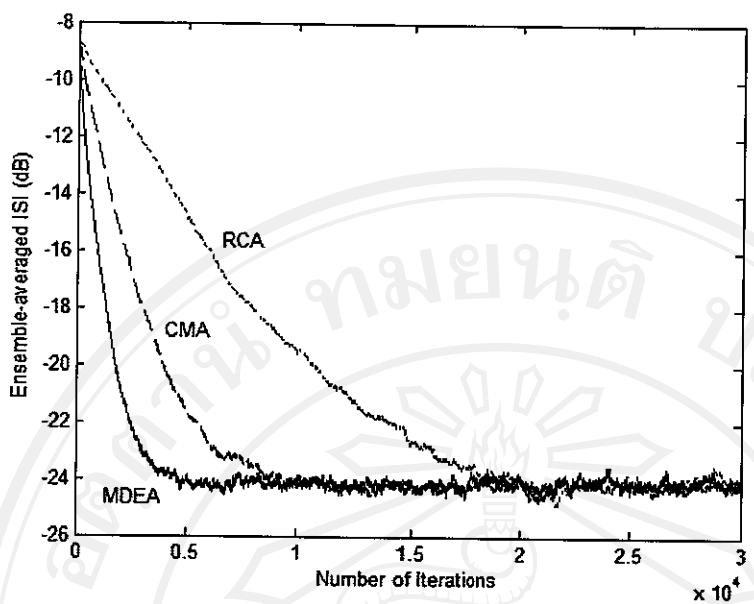
รูปที่ 5.16 แสดงผลลัพธ์ของระบบหลังจากใช้ข้อมูลไป 6000 จุด เมื่ออัลกอริทึมคับเบิลอีลิพส์แบบ
โมดิฟายมีอัตราส่วนระหว่างแกนหลักและแกนรองเท่ากับ 22

5.3.1.3 ผลการทดสอบที่ได้จากลักษณะสัญญาณข้อมูลแบบ 256-QAM

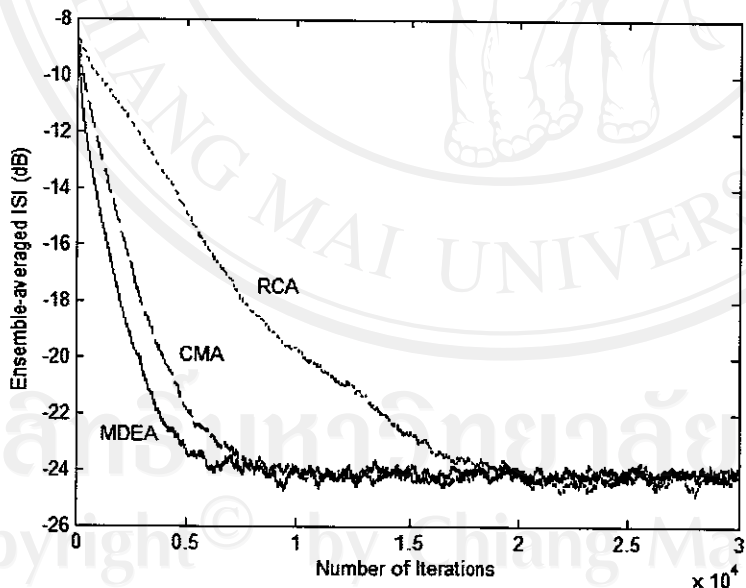
การทดสอบประสิทธิภาพของระบบ ในการกำจัดอินเตอร์ซิม โบลอินเตอร์เฟียร์นซ์ที่เกิดขึ้นกับสัญญาณข้อมูลแบบ 256-QAM นั้น เราจะกำหนดให้ค่าการเรียนรู้ของอัลกอริทึมคอนແສຕນ มองคุณลักษณะและอัลกอริทึมรีคิวคอนสเตலເລະชันมีค่าเท่ากับ 0.0012 และ 0.0013 ตามลำดับ และ เช่นเดียวกันกับการทดสอบบนสัญญาณ 256-QAM ของอัลกอริทึมดับเบลອีลิพส์แบบแอฟโซลูท เราจะไม่แสดงผลลัพธ์ที่ได้ ณ จำนวนข้อมูลที่ผ่านไปเพื่อแสดงให้เห็นกับสัญญาณข้อมูลแบบ 16-QAM และ 64-QAM เนื่องจากกรณีของสัญญาณข้อมูลแบบ 256-QAM ภาพของการรวมกลุ่มจะไม่ชัดเจน โดยที่ค่าการเรียนรู้ของอัลกอริทึมดับเบลອีลิพส์แบบโมดิฟายที่อัตราส่วนเท่ากับ 2.7 และ 22 นั้นมีค่าเท่ากับ 0.0006, 0.000445 และ 0.000132 ตามลำดับ ซึ่งผลที่ได้รับสามารถพิจารณาได้จากรูปที่ 5.17, 5.18 และ 5.19 โดยประสิทธิภาพนี้ให้ผลเหมือนกับที่เกิดขึ้นบนสัญญาณข้อมูลแบบ 16-QAM และ 64-QAM เมื่อเราเปรียบเทียบผลที่ได้รับจากอัลกอริทึมดับเบลອีลิพส์แบบโมดิฟายกับผลที่ได้รับจากอัลกอริทึมรีคิวคอนสเตலເລະชัน เราจะสามารถสังเกตได้ว่าความแตกต่างที่ชัดเจนว่า อัลกอริทึมดับเบลອีลิพส์แบบโมดิฟายสามารถเข้าถึงระดับ -24 dB ได้รวดเร็วกว่ามาก



รูปที่ 5.17 แสดงระดับค่าเฉลี่ยของอินเตอร์ซิม โบลอินเตอร์เฟียร์นซ์ สำหรับสัญญาณข้อมูลแบบ 256-QAM เมื่ออัลกอริทึมดับเบลອีลิพส์แบบโมดิฟายมี อัตราส่วนระหว่างแกนหลักและแกนรองเท่ากับ 2



รูปที่ 5.18 แสดงระดับค่าเฉลี่ยของอินเตอร์ซิม โนบลอนเตอร์เฟียเรนซ์ สำหรับสัญญาณข้อมูลแบบ 256-QAM เมื่ออัลกอริทึมดับเบิลอีลิพส์แบบโมดิฟายมี อัตราส่วนระหว่างแกนหลักและแกนรองเท่ากับ 7



รูปที่ 5.19 แสดงระดับค่าเฉลี่ยของอินเตอร์ซิม โนบลอนเตอร์เฟียเรนซ์ สำหรับสัญญาณข้อมูลแบบ 256-QAM เมื่ออัลกอริทึมดับเบิลอีลิพส์แบบโมดิฟายมี อัตราส่วนระหว่างแกนหลักและแกนรองเท่ากับ 22

5.3.2 สรุปผลการทดสอบความสามารถในการกำจัดอินเตอร์ซิมโบลอินเตอร์เฟียร์นช์

จากการทดสอบบนสัญญาณข้อมูลแบบ QAM และช่องสัญญาณที่ระบุไว้ เราแสดงให้เห็นถึงความสามารถของอัลกอริทึมดับเบิลอีลิพส์แบบ โมดิฟาย มีประสิทธิภาพที่เหนือกว่าอัลกอริทึมคอนແສຕນมอดคูลัสและอัลกอริทึมรีดิวคอนสเตலເລ່ານ දອຍที่อัลกอริทึมดับเบิลอีลิพส์แบบ โมดิฟายสามารถเข้าถึงระดับของอินเตอร์ซิมโบลอินเตอร์เฟียร์นช์เท่ากับ -24 dB ได้เร็วกว่าอัลกอริทึมรีดิวคอนสเตலເລ່ານและอัลกอริทึมคอนແສຕນมอดคูลัส ในขณะที่ลดระดับอินเตอร์ซิมโบลอินเตอร์เฟียร์นช์อัลกอริทึมดับเบิลอีลิพส์แบบ โมดิฟายสามารถปรับเปลี่ยน ของผลลัพธ์ที่ได้จากอีคาวาໄໄලເຊອ້ໄຫວ້ในรูป คอนสເຕລເລ່ານຂອງสัญญาณที่ຖຸກໜູນ $\frac{\pi}{4}$ ເຮັດຍິນ

เช่นเดียวกันกับอัลกอริทึมดับเบิลอีลิพส์แบบແອພໂຫຼຸດ ລາຍລະອຽດສະບຸປຸລກຮະທບຊອງຄ່າຄົງທີ່ອັດກອຣີທີ່ມີຄົນແບັນເປົ້າໂມດີຟາຍໄດ້ວ່າ ອັດຕາສ່ວນຂອງແກນໜັກແລະແກນຮອງມີຜລຕ່ອງຄວາມສາມາດໃນການຄວບຄົມເອົາໂຈນໂບລອິນເຕອຣີຟິເຣັນໜຳກັບອັດກອຣີທີ່ມີຄົນແບັນເປົ້າໂມດີຟາຍທີ່ຖຸກກຳນົດ ໂດຍອັດຕາສ່ວນຂອງແກນໜັກແລະແກນຮອງ ລາຍລະອຽດພິຈາລາດໄດ້ຈາກຕາරັງທີ່ 5.2 ທີ່ຈຶ່ງແສດງໃຫ້ເຫັນຄວາມສັນພັນຮ່ວງຈຳນວນຂໍ້ມູນທີ່ຕ້ອງການເພື່ອທີ່ຈະໄຫ້ຜລັບພົບຂອງອືກວາໄໄລເຊອ້ໄຫວ້ມີຮະດັບຂອງອິນເຕອຣີຟິເຣັນໜຳກັບ -24 dB ກັບອັດຕາສ່ວນຂອງແກນໜັກແລະແກນຮອງຂອງອັດກອຣີທີ່ມີຄົນແບັນເປົ້າໂມດີຟາຍ දອຍຂໍ້ມູນຄ່າແລ້ວຢ່າງໄດ້ຈາກການທົດສອນຈຳນວນ 1000 ຄົ້ງ ພົບທີ່ໄດ້ຈາກຕາරັງແສດງໃຫ້ກຽນວ່າ ອັດກອຣີທີ່ມີຄົນແບັນເປົ້າໂມດີຟາຍຈະສາມາດໃນການໄດ້ຍ່າງຮວດເຮົວເມື່ອອັດຕາສ່ວນຮ່ວງແກນໜັກແລະແກນຮອງມີຄ່າທີ່ເທົ່າກັບ 7 ໂດຍທີ່ອັດກອຣີທີ່ມີຄົນແບັນເປົ້າໂມດີຟາຍທີ່ອັດຕາສ່ວນນາກກວ່າ 7 ປະສິທິພາພະຈັບຂໍ້ມູນໃນຂະໜາດທີ່ອັດຕາສ່ວນຈາກຄ່າທີ່ເທົ່າກັບ 2 ຊົ່ງ 7 ອັດກອຣີທີ່ຈະໃນການເພີ້ນ (ຕ້ອງການຈຳນວນຂອງຂໍ້ມູນທີ່ນ້ອຍ) ເຮົາຈຶ່ງໄມ່ມີຄວາມຈຳເປັນຕົ້ນທີ່ໄດ້ຮັບການຄືທີ່ອັດຕາສ່ວນນາກກວ່າ 22

ຈາກຕາරັງທີ່ 5.2, 5.3 ແລະ 5.4 ເຮົາສະບຸໄດ້ວ່າ ເມື່ອຄ່າຂອງອັດຕາສ່ວນເພີ້ນເຂົ້າເຖິງຄົງຮະດັບໜຶ່ງ (ໃນທີ່ນີ້ຄື່ອງ 7) ຮະບັບຈະໃນການໄດ້ເກີ່ມສຸດ ແຕ່ເມື່ອເຮົາເພີ້ນອັດຕາສ່ວນນາກເຂົ້າ ບຣີເວນທີ່ເປັນສ່ວນຂອງໜຸ້ມຈະເລື້ອກລົງ ທຳໃຫ້ການຄູ່ເຂົ້າທາຮະດັບອິນເຕອຣີຟິເຣັນໜຳກັບ $\frac{\pi}{4}$ ເປັນຜລຕ່ອກການປັບປຸງທີ່ຈໍາເລັດເຊັ່ນກັນ

ตารางที่ 5.2 ค่าเฉลี่ยและค่าเบี่ยงเบนของจำนวนข้อมูลที่ต้องการเพื่อที่จะเข้าถึงระดับ -24 dB สำหรับอัตราส่วนระหว่างแกนหลักและแกนรองต่างๆ บนข้อมูลสัญญาณข้อมูลแบบ 16-QAM สำหรับอัลกอริทึมคับเบิลอีลิปส์แบบโมดิฟาย

Ratio	Mean (10^3)	Variance (10^5)
2	2.1716	1.4957
3	1.4107	0.5912
4	1.1183	0.3372
5	0.9714	0.2765
6	0.909	0.2462
7	0.9014	0.278
8	0.9669	0.3278
9	0.9945	0.3425
10	1.1442	0.4069
11	1.2292	0.4114
12	1.3157	0.4778
13	1.4406	0.5721
14	1.4967	0.6061
15	1.5443	0.6665
16	1.7091	0.6723
17	1.86	0.8252
18	1.9317	0.8443
19	2.0113	0.9246
20	2.0302	0.9217
21	2.0632	1.0012
22	2.107	1.0174

ตารางที่ 5.3 ค่าเฉลี่ยและค่าเบี่ยงเบนของจำนวนข้อมูลที่ต้องการเพื่อที่จะเข้าถึงระดับ -24 dB
สำหรับอัตราอัตราส่วนระหว่างแกนหลักและแกนรองต่างๆ บนข้อมูลสัญญาณข้อมูลแบบ
64-QAM สำหรับอัตราอัตราส่วนที่มีค่าเบี่ยงเบนอิสพาร์โนดิฟาย

Ratio	Mean (10^3)	Variance (10^5)
2	5.1797	4.5616
3	4.1028	2.4518
4	3.672	1.6554
5	3.5195	1.327
6	3.4412	1.381
7	3.3922	1.2053
8	3.4607	1.3098
9	3.526	1.7035
10	3.7409	1.7197
11	3.8839	1.9419
12	4.0457	2.242
13	4.1996	2.2297
14	4.2307	2.3741
15	4.3323	2.3587
16	4.42	2.5295
17	4.5618	2.5512
18	4.7012	3.2461
19	4.8297	3.0668
20	4.9129	3.2911
21	4.8803	3.1429
22	4.9704	3.4488

ตารางที่ 5.4 ค่าเฉลี่ยและค่าเบี่ยงเบนของจำนวนข้อมูลที่ต้องการเพื่อที่จะเข้าถึงระดับ -24 dB สำหรับอัตราอัตราส่วนระหว่างแกนหลักและแกนรองต่างๆ
บนข้อมูลสัญญาณข้อมูลแบบ 256-QAM สำหรับอัลกอริทึมดับเบิลอีลิปส์แบบไม่ต่อเนื่อง

Ratio	Mean (10^3)	Variance (10^5)
2	5.5861	5.8064
3	4.2468	3.2184
4	3.8114	2.2064
5	3.6476	1.9072
6	3.5878	1.794
7	3.5531	1.7768
8	3.6455	2.002
9	3.8973	1.9689
10	3.9109	2.1283
11	4.088	2.669
12	4.3251	2.7417
13	4.4932	2.8542
14	4.4689	3.0076
15	4.5705	3.4646
16	4.7539	3.7593
17	4.9974	3.7078
18	5.0657	3.5383
19	5.0691	4.0393
20	5.2022	4.3259
21	5.1904	4.1544
22	5.2204	4.2098

5.4 การวิเคราะห์อัลกอริทึมดับเบิลอีลิพส์แบบโนมิดฟายเมื่อเข้าสู่ระดับคงที่

ในบทนี้เราจะศึกษาระดับของค่าเฉลี่ยของกำลังสองของความผิดพลาด (Mean Square Error : MSE) ที่หลงเหลืออยู่ในผลลัพธ์ที่ได้จากการอิควาไลเซอร์ตามแนวคิดอัลกอริทึมดับเบิลอีลิพส์แบบโนมิดฟายเข้าสู่ระดับคงที่ (Steady-State)

$$J_{MDEA}(n) = E \left[\left(\frac{y_r^2}{R_1} + \frac{y_i^2}{R_2} - R_{CMA}^2 \right) \cdot \left(\frac{y_r^2}{R_2} + \frac{y_i^2}{R_1} - R_{CMA}^2 \right) \right] \quad (5.10)$$

ปริมาณความผิดพลาดของสัญญาณในขณะนี้ ของระบบตามแนวคิดอัลกอริทึมดับเบิลอีลิพส์แบบโนมิดฟายมีลักษณะตามสมการ โดยกำหนดให้

$$A = \frac{y_r(n)^2}{R_1} + \frac{y_i(n)^2}{R_2} - R_{CMA}^2 \quad (5.11)$$

$$B = \frac{y_r(n)^2}{R_2} + \frac{y_i(n)^2}{R_1} - R_{CMA}^2 \quad (5.12)$$

ผลที่ได้

$$e_{or,MDEA}(n) = E \left[\left(\frac{A}{R_2} + \frac{B}{R_1} \right) \cdot y_r(n) \right] \quad (5.13)$$

$$= E \left[\left(2 \cdot a \cdot y_r(n)^2 + b \cdot y_i(n)^2 - c \cdot R_{CMA}^2 \right) \cdot y_r(n) \right] \quad (5.14)$$

และ

$$e_{oi,MDEA}(n) = E \left[\left(\frac{A}{R_1} + \frac{B}{R_2} \right) \cdot y_i(n) \right] \quad (5.15)$$

$$= E \left[\left(2 \cdot a \cdot y_i^2 + b \cdot y_r^2 - c \cdot R_{CMA}^2 \right) \cdot y_i(n) \right] \quad (5.16)$$

โดยที่

$$a = \frac{1}{R_1 \cdot R_2}, \quad b = \frac{1}{R_1^2} + \frac{1}{R_2^2} \quad \text{และ} \quad c = \frac{1}{R_1} + \frac{1}{R_2} \quad (5.17)$$

เช่นเดียวกับวิธีที่ใช้ในการคำนวณในบทของอัลกอริทึมดับเบลอลีพส์แบบแอกโซลูท เราจะ

ประมาณหาค่าของ $\mu \cdot E[e_a \cdot e_o^* + e_a^* \cdot e_o]$ ดังนี้

$$\mu \cdot E[e_a \cdot e_o^* + e_a^* \cdot e_o] = 2 \cdot \mu \cdot E[e_{ar} \cdot e_{or} + e_{ai} \cdot e_{oi}] \quad (5.18)$$

จากสมการที่ (5.14) และ (5.16)

$$e_{or} = e_{or,MDEA} \quad (5.19)$$

$$= \{2 \cdot a \cdot y_r^2 + b \cdot y_i^2 - c \cdot R_{CMA}^2\} \cdot y_r \quad (5.20)$$

$$= 2 \cdot a \cdot (s_r^3 + 2 \cdot s_r^2 \cdot e_{ar} + s_r \cdot e_{ar}^2)$$

$$+ b \cdot (s_r \cdot s_i^2 + 2 \cdot s_r \cdot s_i \cdot e_{ai} + s_r \cdot e_{ai}^2) - c \cdot s_r \cdot R_{CMA}^2$$

$$+ 2 \cdot a \cdot (s_r^2 \cdot e_{ar} + 2 \cdot s_r \cdot e_{ar}^2 + e_{ar}^3)$$

$$+ b \cdot (s_i^2 \cdot e_{ar} + 2 \cdot s_i \cdot e_{ar} \cdot e_{ai} + e_{ar} \cdot e_{ai}^2) - c \cdot e_{ar} \cdot R_{CMA}^2 \quad (5.21)$$

และ

$$e_{oi} = e_{oi,MDEA} \quad (5.22)$$

$$= \{2 \cdot a \cdot y_i^2 + b \cdot y_r^2 - c \cdot R_{CMA}^2\} \cdot y_i \quad (5.23)$$

$$= 2 \cdot a \cdot (s_i^3 + 2 \cdot s_i^2 \cdot e_{ai} + s_i \cdot e_{ai}^2)$$

$$+ b \cdot (s_i \cdot s_r^2 + 2 \cdot s_r \cdot s_i \cdot e_{ar} + s_i \cdot e_{ar}^2) - c \cdot s_i \cdot R_{CMA}^2$$

$$+ 2 \cdot a \cdot (s_i^2 \cdot e_{ai} + 2 \cdot s_i \cdot e_{ai}^2 + e_{ai}^3) \quad (5.24)$$

$$+ b \cdot (s_r^2 \cdot e_{ai} + 2 \cdot s_r \cdot e_{ar} \cdot e_{ai} + e_{ai} \cdot e_{ar}^2) - c \cdot e_{ai} \cdot R_{CMA}^2$$

แทนสมการที่ (5.21) และ (5.24) ลงในสมการที่ (5.18) โดยจากสมมุติฐานที่ 1 และ 2 สมมุติฐาน
ในบทของอัลกอริทึมดับเบลอลีพส์แบบแอกโซลูท กำหนดให้ค่าการเรียนรู้มีขนาดน้อยเพียงพอ

และสมมุติฐานที่กำหนดให้ ณ ระดับคงที่ ค่าของความผิดพลาด e_{ar}^2 และ e_{ai}^2 มีค่าน้อยมากเป็นผล

ให้ส่วนที่มีค่ายกกำลังสูงกว่าหนึ่นสามารถ忽略ทิ้งได้ สุดท้าย เราสมมุติให้ $E\left[\begin{array}{c} e_{ar}^2 \\ e_{ai}^2 \end{array}\right] = E\left[\begin{array}{c} e_{ar}^2 \\ e_{ai}^2 \end{array}\right]$ ผลที่ได้คือค่าประมาณดังนี้

$$\mu \cdot E\left[\begin{array}{c} e_a^* \cdot e_o + e_a \cdot e_o^* \\ e_o^* \cdot e_o + e_a \cdot e_o^* \end{array}\right] \approx 2 \cdot \mu \cdot E\left[\begin{array}{c} e_{ar}^2 \\ e_{ar}^2 \end{array}\right] \cdot E\left[\begin{array}{c} (6 \cdot a + b) \cdot (s_r^2 + s_i^2) - 2 \cdot c \cdot R_{CMA}^2 \\ (6 \cdot a + b) \cdot (s_r^2 + s_i^2) - 2 \cdot c \cdot R_{CMA}^2 \end{array}\right] \quad (5.25)$$

เมื่อเราเปรียบเทียบกับผลที่ได้รับจากอัลกอริทึมดับเบลอิลิพส์แบบแอดโพโซลูท เรายพบว่า

$$\mu \cdot E\left[\begin{array}{c} e_a^* \cdot e_o + e_a \cdot e_o^* \\ e_o^* \cdot e_o + e_a \cdot e_o^* \end{array}\right]_{ADEA} = \mu \cdot C \cdot E\left[\begin{array}{c} e_a^* \cdot e_o + e_a \cdot e_o^* \\ e_o^* \cdot e_o + e_a \cdot e_o^* \end{array}\right]_{MDEA} \quad (5.26)$$

โดยที่

$$C = E[sign(A) \cdot sign(B)] \quad (5.27)$$

ในส่วนที่สอง $\mu^2 \cdot \left[\|x\|^2 \cdot |e_o|^2 \right]$ สามารถพิจารณาได้ดังนี้

$$\mu^2 \cdot E\left[\begin{array}{c} \|x\|^2 \cdot |\tilde{e}|^2 \end{array}\right] = \mu^2 \cdot E\left[\begin{array}{c} \|x\|^2 \end{array}\right] \cdot E\left[\begin{array}{c} e_{or}^2 + e_{oi}^2 \end{array}\right] \quad (5.28)$$

โดยที่

$$e_{or}^2 = E\left[\begin{array}{c} \{(2 \cdot a \cdot y_r^2 + b \cdot y_i^2 - c \cdot R_{CMA}^2) \cdot y_r\}^2 \end{array}\right] \quad (5.29)$$

$$= E\left[\begin{array}{c} (2 \cdot a \cdot y_r^3 + b \cdot y_r \cdot y_i^2 - c \cdot R_{CMA}^2 \cdot y_r)^2 \end{array}\right] \quad (5.30)$$

$$= E\left[\begin{array}{c} 4 \cdot a^2 \cdot y_r^6 + b^2 \cdot y_r^2 \cdot y_i^4 + c^2 \cdot (R_{CMA}^2)^2 \cdot y_r^2 \end{array}\right] \quad (5.31)$$

$$+ 4 \cdot a \cdot b \cdot y_r^4 \cdot y_i^2 - 4 \cdot a \cdot c \cdot R_{CMA}^2 \cdot y_r^4$$

$$- 2 \cdot b \cdot c \cdot R_{CMA}^2 \cdot y_r^2 \cdot y_i^2 \quad]$$

จากสมการในโน้ตเมลและสมมุติฐานที่ 1 และ 2 ในบทที่ 4 เราสามารถกระจายหาค่าประมาณในแต่ละส่วนของสมการทางผังขวามือในสมการที่ (5.31) ได้ดังนี้

$$E\left[4 \cdot a^2 \cdot y_r^6 \right] \approx 4 \cdot a^2 \cdot E\left[s_r^6 + 15 \cdot s_r^4 \cdot e_{ar}^2 \right] \quad (5.32)$$

$$\begin{aligned} E\left[b^2 \cdot y_r^2 \cdot y_i^4 \right] &\approx b^2 \cdot E\left[s_r^2 \cdot s_i^4 + 6 \cdot s_r^2 \cdot s_i^2 \cdot e_{ai}^2 \right. \\ &\quad \left. + s_i^4 \cdot e_{ar}^2 + 6 \cdot s_i^2 \cdot e_{ar}^2 \cdot e_{ai}^2 \right] \end{aligned} \quad (5.33)$$

$$E\left[c^2 \cdot (R_{CMA}^2)^2 \cdot y_r^2 \right] \approx c^2 \cdot (R_{CMA}^2)^2 \cdot E\left[s_r^2 + e_{ar}^2 \right] \quad (5.34)$$

$$\begin{aligned} E\left[4 \cdot a \cdot b \cdot y_r^4 \cdot y_i^2 \right] &\approx 4 \cdot a \cdot b \cdot E\left[s_r^4 \cdot s_i^2 + 6 \cdot s_r^2 \cdot s_i^2 \cdot e_{ar}^2 \right. \\ &\quad \left. + s_r^4 \cdot e_{ai}^2 + 6 \cdot s_r^2 \cdot e_{ar}^2 \cdot e_{ai}^2 \right] \end{aligned} \quad (5.35)$$

$$E\left[4 \cdot a \cdot c \cdot R_{CMA}^2 \cdot y_r^4 \right] \approx 4 \cdot a \cdot c \cdot R_{CMA}^2 \cdot E\left[s_r^4 + 6 \cdot s_r^2 \cdot e_{ar}^2 \right] \quad (5.36)$$

และ

$$\begin{aligned} E\left[2 \cdot b \cdot c \cdot R_{CMA}^2 \cdot y_r^2 \cdot y_i^2 \right] &\approx 2 \cdot b \cdot c \cdot R_{CMA}^2 \cdot E\left[s_r^2 \cdot s_i^2 + s_i^2 \cdot e_{ar}^2 \right. \\ &\quad \left. + s_r^2 \cdot e_{ai}^2 \right] \end{aligned} \quad (5.37)$$

เรานำสมการที่ (5.32) ถึงสมการที่ (5.37) แทนลงในสมการที่ (5.31) เราจะได้สมการสำหรับการ

หาค่าประมาณของ $E\left[e_{or}^2 \right]$ และศัษย์วิธีเดียวกัน เราสามารถหาสมการค่าประมาณของ

$E\left[e_{oi}^2 \right]$ ได้ดังนี้

นำผลลัพธ์ที่ได้แทนค่าทั้งหมดลงใน $E\left[e_{or}^2 + e_{oi}^2\right]$ เราจะได้

$$\begin{aligned}
 E\left[e_{or}^2 + e_{oi}^2\right] &\approx E\left[4 \cdot a^2 \cdot (s_r^6 + 15 \cdot s_r^4 \cdot e_{ar}^2) + c^2 \cdot (R_{CMA}^2)^2 \cdot (s_r^2 + e_{ar}^2)\right. \\
 &+ b^2 \cdot (s_r^2 \cdot s_i^4 + 6 \cdot s_r^2 \cdot s_i^2 \cdot e_{ai}^2 + s_i^4 \cdot e_{ar}^2 + 6 \cdot s_i^2 \cdot e_{ar}^2 \cdot e_{ai}^2) \\
 &+ 4 \cdot a \cdot b \cdot (s_r^4 \cdot s_i^2 + 6 \cdot s_r^2 \cdot s_i^2 \cdot e_{ar}^2 + s_r^4 \cdot e_{ai}^2 + 6 \cdot s_r^2 \cdot e_{ar}^2 \cdot e_{ai}^2) \\
 &- 4 \cdot a \cdot c \cdot R_{CMA}^2 \cdot (s_r^4 + 6 \cdot s_r^2 \cdot e_{ar}^2) - 4 \cdot a \cdot c \cdot R_{CMA}^2 \cdot (s_i^4 + 6 \cdot s_i^2 \cdot e_{ai}^2) \\
 &- 2 \cdot b \cdot c \cdot R_{CMA}^2 \cdot (s_r^2 \cdot s_i^2 + s_i^2 \cdot e_{ar}^2 + s_r^2 \cdot e_{ai}^2) \\
 &+ 4 \cdot a^2 \cdot (s_i^6 + 15 \cdot s_i^4 \cdot e_{ai}^2) + c^2 \cdot (R_{CMA}^2)^2 \cdot (s_i^2 + e_{ai}^2) \\
 &+ b^2 \cdot (s_r^4 \cdot s_i^2 + 6 \cdot s_r^2 \cdot s_i^2 \cdot e_{ar}^2 + s_r^4 \cdot e_{ai}^2 + 6 \cdot s_r^2 \cdot e_{ar}^2 \cdot e_{ai}^2) \\
 &+ 4 \cdot a \cdot b \cdot (s_r^2 \cdot s_i^4 + 6 \cdot s_r^2 \cdot s_i^2 \cdot e_{ai}^2 + s_i^4 \cdot e_{ar}^2 + 6 \cdot s_i^2 \cdot e_{ar}^2 \cdot e_{ai}^2) \\
 &\left.- 2 \cdot b \cdot c \cdot R_{CMA}^2 \cdot (s_r^2 \cdot s_i^2 + s_i^2 \cdot e_{ar}^2 + s_r^2 \cdot e_{ai}^2)\right] \quad (5.38)
 \end{aligned}$$

จัดรูปสมการที่ (5.38) ใหม่ เพื่อให้ง่ายต่อการพิจารณา

$$\begin{aligned}
 E\left[e_{or}^2 + e_{oi}^2\right] &\approx E\left[4 \cdot a^2 \cdot (s_r^6 + s_i^6) + (b^2 + 4 \cdot a \cdot b) \cdot (s_r^2 \cdot s_i^4 + s_r^4 \cdot s_i^2)\right. \\
 &+ c^2 \cdot (R_{CMA}^2)^2 \cdot (s_r^2 + s_i^2) - 4 \cdot a \cdot c \cdot R_{CMA}^2 \cdot (s_r^4 + s_i^4) \\
 &- 4 \cdot b \cdot c \cdot R_{CMA}^2 \cdot (s_r^2 \cdot s_i^2)\Big] \quad (5.39) \\
 &+ E\left[(60 \cdot a^2 + 4 \cdot a \cdot b + b^2) \cdot (s_r^4 + s_i^4)\right. \\
 &+ (12 \cdot b^2 + 48 \cdot a \cdot b) \cdot (s_r^2 \cdot s_i^2) + 2 \cdot c^2 \cdot (R_{CMA}^2)^2 \\
 &\left.- (24 \cdot a \cdot c \cdot R_{CMA}^2 + 4 \cdot b \cdot c \cdot R_{CMA}^2) \cdot (s_r^2 + s_i^2)\right] \cdot E\left[e_{ar}^2\right]
 \end{aligned}$$

เมื่อทำการเปรียบเทียบกับผลที่ได้รับในบทของอัลกอริทึมค้นเบลล์ลิพส์แบบแอดฟูลุท เรายังว่า

$$E \left[e_{or}^2 + e_{oi}^2 \right]_{ADEA} = E \left[e_{or}^2 + e_{oi}^2 \right]_{MDEA} \quad (5.40)$$

จากสมการที่ (5.25) และสมการที่ (5.39) เราสามารถหาสมการที่ใช้อธิบายค่า $E \left[|e_a|^2 \right]$ ได้ดังนี้

$$E \left[e_{ar}^2 \right] \approx \frac{E_1}{E_2} \quad (5.41)$$

โดยที่

$$\begin{aligned} E_1 = & \mu^2 \cdot E \left[\|x\|^2 \right] \cdot E \left[4 \cdot a^2 \cdot (s_r^6 + s_i^6) \right. \\ & + (b^2 + 4 \cdot a \cdot b) \cdot (s_r^2 \cdot s_i^4 + s_r^4 \cdot s_i^2) \\ & + c^2 \cdot R_{CMA}^4 \cdot (s_r^2 + s_i^2) - 4 \cdot a \cdot c \cdot R_{CMA}^2 \cdot (s_r^4 + s_i^4) \\ & \left. - 4 \cdot b \cdot c \cdot R_{CMA}^2 \cdot (s_r^2 \cdot s_i^2) \right] \end{aligned} \quad (5.42)$$

$$\begin{aligned} E_2 = & 2 \cdot \mu \cdot E \left[(6 \cdot a + b) \cdot (s_r^2 + s_i^2) - 2 \cdot c \cdot R_{CMA}^2 \right] \\ & - \mu^2 \cdot E \left[\|x\|^2 \right] \cdot E \left[(60 \cdot a^2 + 4 \cdot a \cdot b + b^2) \cdot (s_r^4 + s_i^4) \right. \\ & + (12 \cdot b^2 + 48 \cdot a \cdot b) \cdot (s_r^2 \cdot s_i^2) + 2 \cdot c^2 \cdot R_{CMA}^4 \\ & \left. - (24 \cdot a \cdot c \cdot R_{CMA}^2 + 4 \cdot b \cdot c \cdot R_{CMA}^2) \cdot (s_r^2 + s_i^2) \right] \end{aligned} \quad (5.43)$$

และ

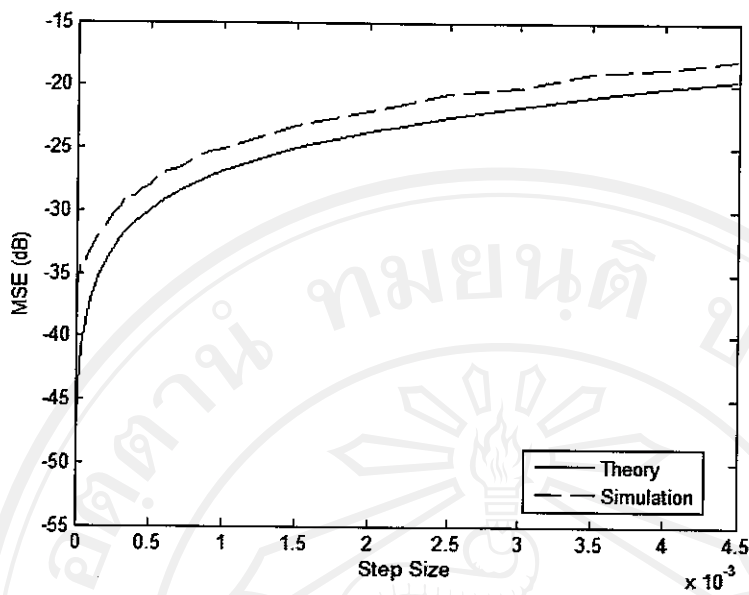
$$E \left[|e_a|^2 \right] \approx 2 \cdot E \left[e_{ar}^2 \right] \quad (5.44)$$

5.4.1 การทดสอบประสิทธิภาพค่าเฉลี่ยของกำลังสองของความผิดพลาด ณ ระดับคงที่

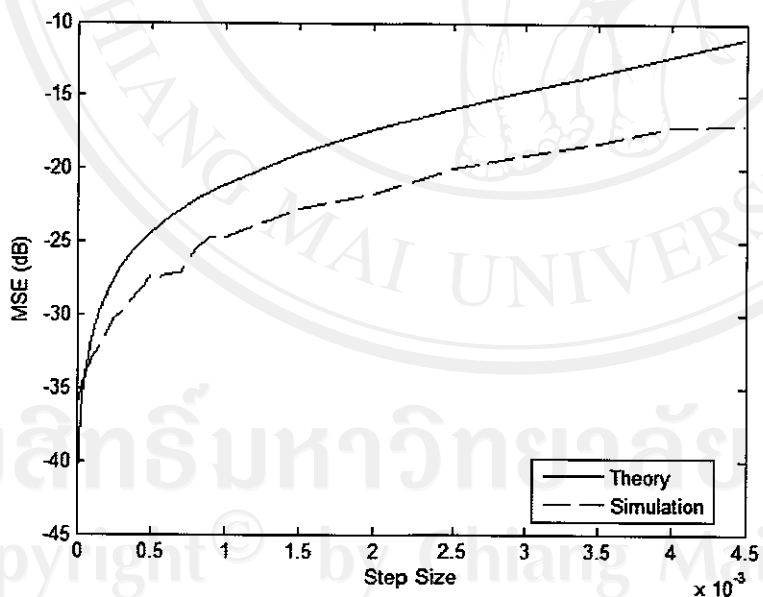
ในการจำลองสถานการณ์เพื่อทดสอบหาค่าเฉลี่ยของกำลังสองของความผิดพลาด ณ ระดับคงที่ ระหว่างผลที่ได้รับจากการคำนวณด้วยสมการที่ (5.41) และสมการที่ (5.44) กับผลที่ได้รับจากข้อมูลทางสถิติเมื่อเราใช้งานอัลกอริทึมดับเบิลอีลิพส์แบบโมดิฟาย โดยที่เราจะแบ่งการจำลองออกเป็น 3 กรณี คือ กรณีที่ทำงานบนสัญญาณข้อมูลแบบ 16-QAM, 64-QAM และ 256-QAM

ด้วยข้อมูลเดียวกัน คือ สัญญาณข้อมูลแบบ 16-QAM ให้ค่าของ $E[|s(n)|^2]$ เท่ากับ 1 ค่าของ $E[|s(n)|^4]$ เท่ากับ 1.32 และค่าของ $E[|s(n)|^6]$ เท่ากับ 1.96 พิจารณาผลลัพธ์จากรูปที่ 5.20, 5.21 และ 5.22 การทดลองบนสัญญาณข้อมูลแบบ 64-QAM นั้น ให้ค่าของ $E[|s(n)|^2]$ เท่ากับ 1 ค่าของ $E[|s(n)|^4]$ เท่ากับ 1.381 และค่าของ $E[|s(n)|^6]$ เท่ากับ 2.2258 พิจารณาผลลัพธ์จากรูปที่ 5.23, 5.24 และ 5.25 และสุดท้ายการทดสอบของบนสัญญาณข้อมูลแบบ 256-QAM ให้ค่าของ $E[|s(n)|^2]$ เท่ากับ 1 ค่าของ $E[|s(n)|^4]$ เท่ากับ 1.3953 และค่าของ $E[|s(n)|^6]$ เท่ากับ 2.2922 พิจารณาผลลัพธ์จากรูปที่ 5.26, 5.27 และ 5.28

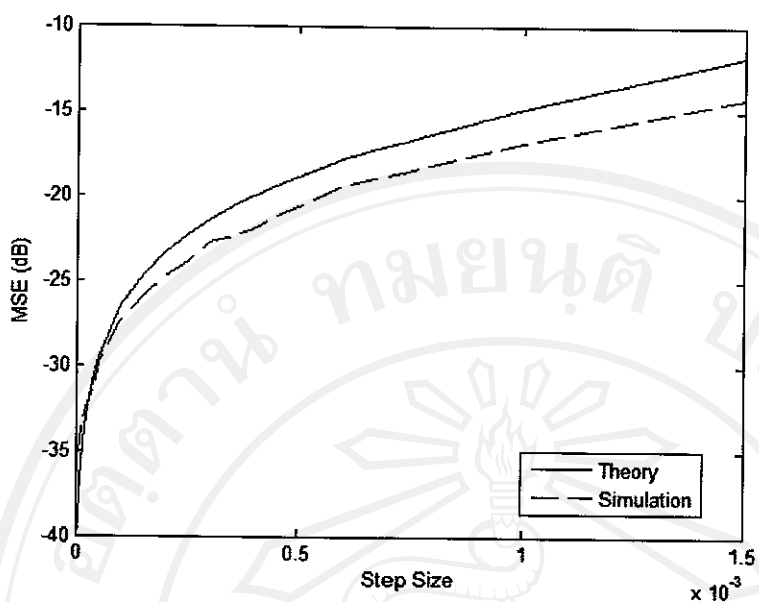
เราสรุปผลได้ดังนี้ ในกรณีสัญญาณข้อมูลแบบ 16-QAM สมการที่เราใช้ประมาณค่าเฉลี่ยของกำลังสองของความผิดพลาด ณ ระดับคงที่ จะทำหน้าที่เป็นขอบเขตบนให้กับอัลกอริทึมดับเบิลอีลิพส์แบบโมดิฟายที่อัตราส่วนระหว่างแกนหลักและแกนรองเท่ากับ 7 และ 22 ในขณะที่กรณีของอัตราส่วนระหว่างแกนหลักและแกนรองเท่ากับ 2 นั้น สมการที่ได้มามาจะให้ค่าเป็นขอบเขตล่าง (Lower Bound) มีเส้นบนนากับข้อมูลที่ได้จากการทดลอง ในกรณีสัญญาณแบบ 64-QAM สมการที่ใช้ประมาณค่าเฉลี่ยของกำลังสองของความผิดพลาด สำหรับอัลกอริทึมดับเบิลอีลิพส์แบบโมดิฟายที่อัตราส่วนระหว่างแกนหลักและแกนรองเท่ากับ 2 และ 22 จะให้ค่าซึ่งนานกับผลที่ได้จากการทดลอง ซึ่งมีลักษณะเป็นขอบเขตล่าง แต่เมื่ออัตราส่วนเท่ากับ 7 จะให้ค่าที่เป็นขอบเขตบนแบบหมายๆ เช่นที่เกิดขึ้นเมื่อทดลองบนสัญญาณข้อมูลแบบ 16-QAM และสำหรับกรณีสัญญาณข้อมูลแบบ 256-QAM สมการที่ใช้ประมาณค่าเฉลี่ยของกำลังสองของความผิดพลาด สำหรับอัลกอริทึมดับเบิลอีลิพส์แบบโมดิฟายที่อัตราส่วนระหว่างแกนหลักและแกนรองเท่ากับ 2, 7 และ 22 จะให้ค่าซึ่งนานกับผลที่ได้จากการทดลอง ซึ่งมีลักษณะเป็นขอบเขตล่าง



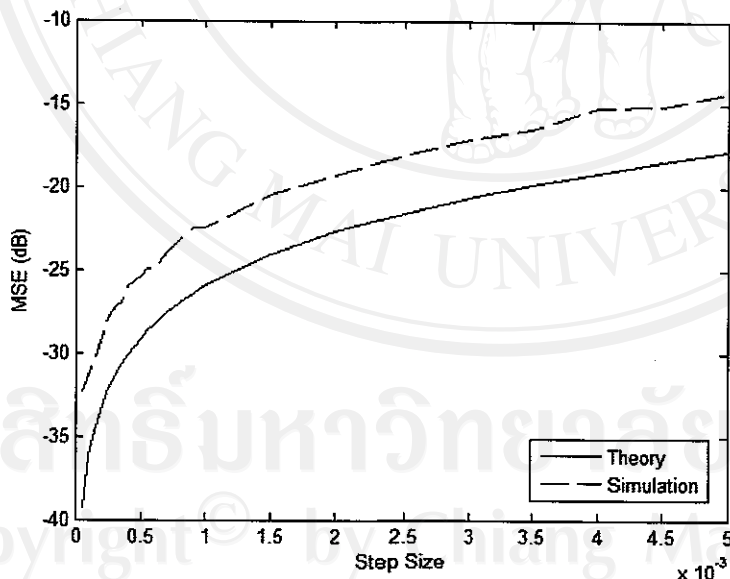
รูปที่ 5.20 ข้อมูลระดับค่าเฉลี่ยของกำลังสองของความผิดพลาด ณ ระดับคงที่ สำหรับผลที่ได้จากการทดลองและผลที่ได้จากการคำนวณ เมื่ออัตราส่วนระหว่างแกนหลักและแกนรองเท่ากับ 2 บนสัญญาณข้อมูลแบบ 16-QAM



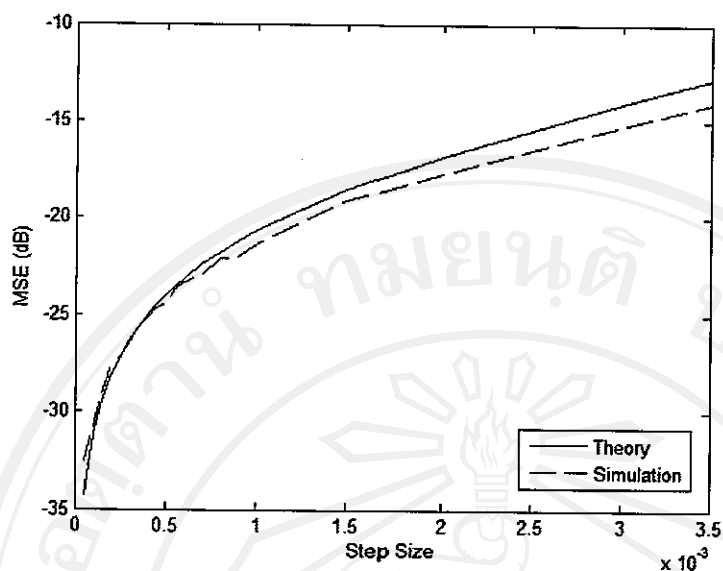
รูปที่ 5.21 ข้อมูลระดับค่าเฉลี่ยของกำลังสองของความผิดพลาด ณ ระดับคงที่ สำหรับผลที่ได้จากการทดลองและผลที่ได้จากการคำนวณ เมื่ออัตราส่วนระหว่างแกนหลักและแกนรองเท่ากับ 7 บนสัญญาณข้อมูลแบบ 16-QAM



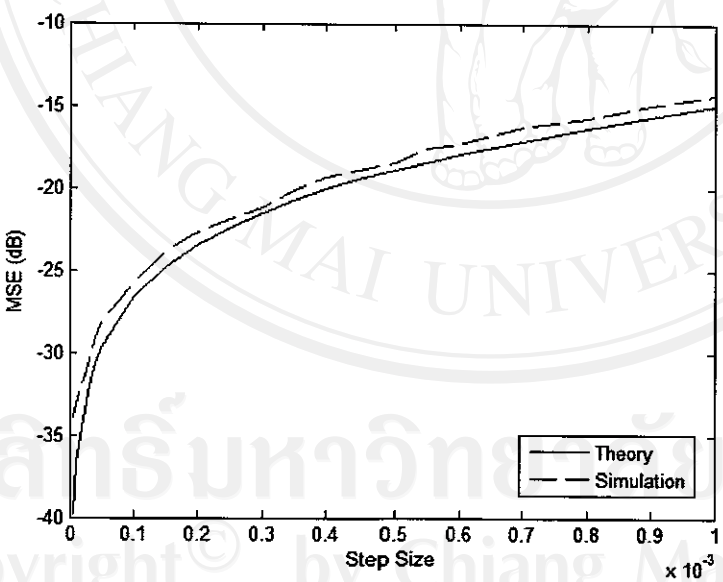
รูปที่ 5.22 ข้อมูลระดับค่าเฉลี่ยของกำลังสองของความผิดพลาด ณ ระดับคงที่ สำหรับผลที่ได้จากการทดลองและผลที่ได้จากการคำนวณ เมื่ออัตราส่วนระหว่างแกนหลักและแกนรองเท่ากับ 22 บนสัญญาณข้อมูลแบบ 16-QAM



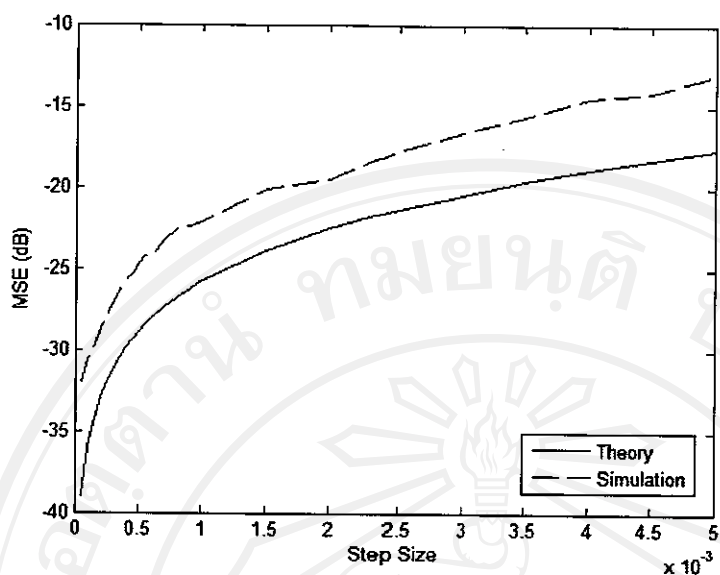
รูปที่ 5.23 ข้อมูลระดับค่าเฉลี่ยของกำลังสองของความผิดพลาด ณ ระดับคงที่ สำหรับผลที่ได้จากการทดลองและผลที่ได้จากการคำนวณ เมื่ออัตราส่วนระหว่างแกนหลักและแกนรองเท่ากับ 2 บนสัญญาณข้อมูลแบบ 64-QAM



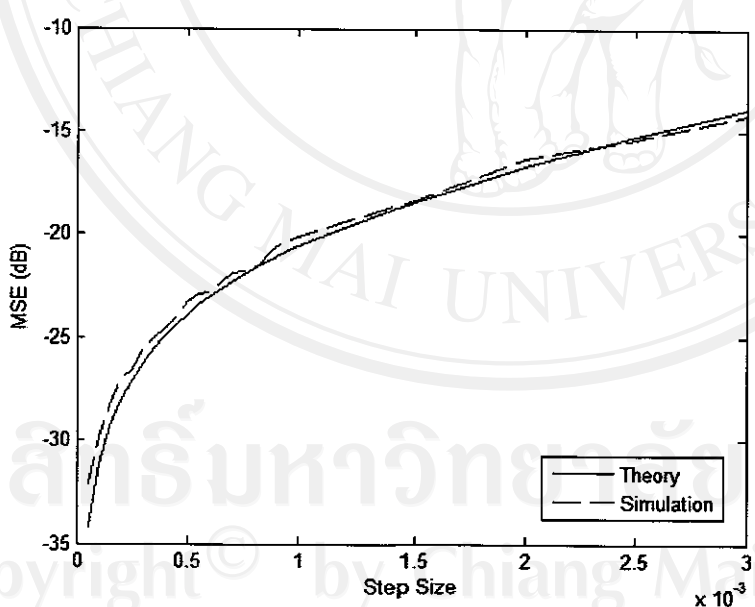
รูปที่ 5.24 ข้อมูลระดับค่าเฉลี่ยของกำลังสองของความผิดพลาด ณ ระดับคงที่ สำหรับผลที่ได้จากการทดลองและผลที่ได้จากการคำนวณ เมื่ออัตราส่วนระหว่างเกนหลักและ
แกนรองเท่ากับ 7 บนสัญญาณข้อมูลแบบ 64-QAM



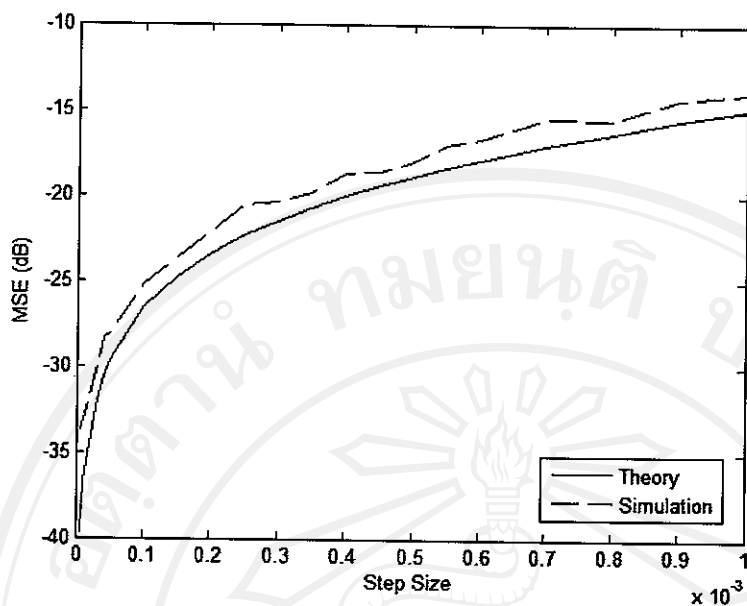
รูปที่ 5.25 ข้อมูลระดับค่าเฉลี่ยของกำลังสองของความผิดพลาด ณ ระดับคงที่ สำหรับผลที่ได้จากการทดลองและผลที่ได้จากการคำนวณ เมื่ออัตราส่วนระหว่างเกนหลักและ
แกนรองเท่ากับ 22 บนสัญญาณข้อมูลแบบ 64-QAM



รูปที่ 5.26 ข้อมูลระดับค่าเฉลี่ยของกำลังสองของความผิดพลาด ณ ระดับคงที่ สำหรับผลที่ได้จากการทดสอบและผลที่ได้จากการคำนวณ เมื่ออัตราส่วนระหว่างแกนหลักและแกนรองเท่ากับ 2 บนสัญญาณข้อมูลแบบ 256-QAM



รูปที่ 5.27 ข้อมูลระดับค่าเฉลี่ยของกำลังสองของความผิดพลาด ณ ระดับคงที่ สำหรับผลที่ได้จากการทดสอบและผลที่ได้จากการคำนวณ เมื่ออัตราส่วนระหว่างแกนหลักและแกนรองเท่ากับ 7 บนสัญญาณข้อมูลแบบ 256-QAM



รูปที่ 5.28 ข้อมูลระดับค่าเฉลี่ยของกำลังสองของความผิดพลาด ณ ระดับคงที่ สำหรับผลที่ได้จากการทดลองและผลที่ได้จากการคำนวณ เมื่ออัตราส่วนระหว่างแกนหลักและแกนรองเท่ากับ 22 บนสัญญาณข้อมูลแบบ 256-QAM

5.4.2 สรุปการทดสอบค่าเฉลี่ยของกำลังสองของความผิดพลาด ณ ระดับคงที่

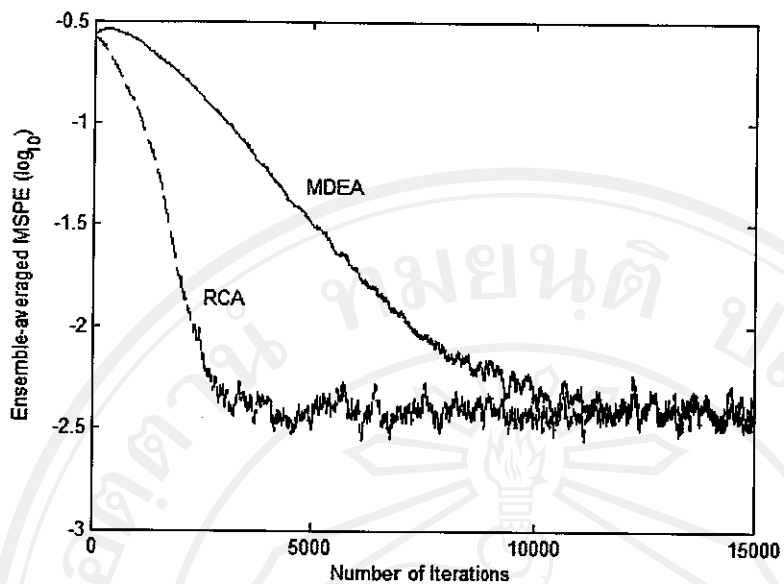
เมื่อพิจารณาการเปรียบเทียบผลที่ได้รับจากการทดลองกับค่าที่คำนวณได้ เรายพบว่า สมการการคำนวณหาระดับค่าเฉลี่ยของกำลังสองของความผิดพลาด ณ ระดับคงที่นี้ เป็นการประมาณค่าแบบหยาบ สาเหตุมาจากการทดลองเช่นเดียวกับที่เราพบในการทดสอบกับอัลกอริทึมดับเบิลอีลิพส์แบบแอฟโซลูท คือ การที่ค่าในสมการเริ่มนั้นถูกประมาณ และมีการตัดส่วนส่วนที่เราคาดว่าจะมีปริมาณน้อย หรือส่วนที่ตรงตามข้อตกลงที่กำหนดไว้ในบทที่ 5 และเช่นกัน สมการที่ได้รับนั้นสามารถใช้คำนวณที่คิดทางของค่าเฉลี่ยของกำลังสองของความผิดพลาด ณ ระดับคงที่ สำหรับอัตราส่วนระหว่างแกนหลักและแกนรองที่ขนาดและค่าการเรียนรู้ที่แตกต่างกันออกไป

5.5 การทดสอบประสิทธิภาพค่าเฉลี่ยของกำลังสองของความผิดพลาดของเฟส สำหรับอัลกอริทึมดับเบิลอีลิพส์แบบโมดิฟาย

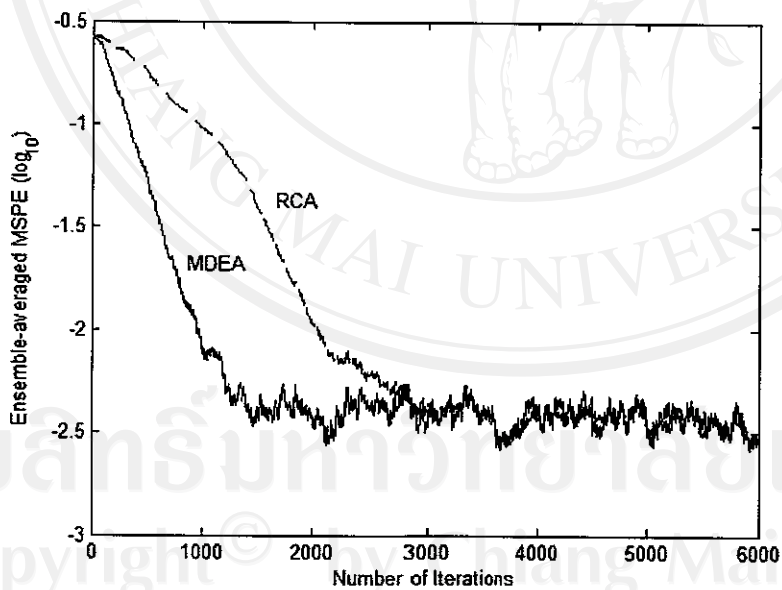
เช่นเดียวกันกับที่เราทดสอบอัลกอริทึมดับเบิลอีลิพส์แบบแอฟโซลูท เราจะทดสอบอัลกอริทึมดับเบิลอีลิพส์แบบโมดิฟาย เพื่อหาค่าเฉลี่ยของจำนวนข้อทูลที่ต้องการในการลดระดับค่าเฉลี่ยของกำลังสองของความผิดพลาดของเฟส (Mean Square Phase Error : MSPE) ซึ่งอยู่

ในหน่วยของล็อก (Log Scale) และเปรียบความสามารถในการลดระดับค่าเฉลี่ยของกำลังสองของความผิดพลาดของเฟส เรายังทำการทดสอบกับอัลกอริทึมดับเบิลอีลิพส์แบบโมดิฟายที่อัตราส่วนระหว่างแกนหลักและแกนรองเท่ากับ 2, 7 และ 22 บนสัญญาณข้อมูลแบบ 16-QAM และ 64-QAM ระดับที่เราใช้ทดสอบค่าเฉลี่ยของกำลังสองของความผิดพลาดของเฟสจะอยู่ที่ -2.5 ในหน่วยล็อกหรือประมาณ 0.06 เรเดียน สำหรับสัญญาณข้อมูลแบบ 16-QAM และ -2.4 หรือประมาณ 0.0631 เรเดียน สำหรับสัญญาณข้อมูลแบบ 64-QAM สามารถพิจารณาค่าเฉลี่ยของจำนวนข้อมูลได้จากตารางที่ 5.5 และ 5.6 และเปรียบเทียบความสามารถในการลดระดับค่าเฉลี่ยของกำลังสองของความผิดพลาดของเฟส ได้จากรูปที่ 5.29, 5.30 และ 5.31 สำหรับสัญญาณข้อมูลแบบ 16-QAM และรูปที่ 5.32, 5.33 และ 5.34 สำหรับสัญญาณข้อมูลแบบ 64-QAM

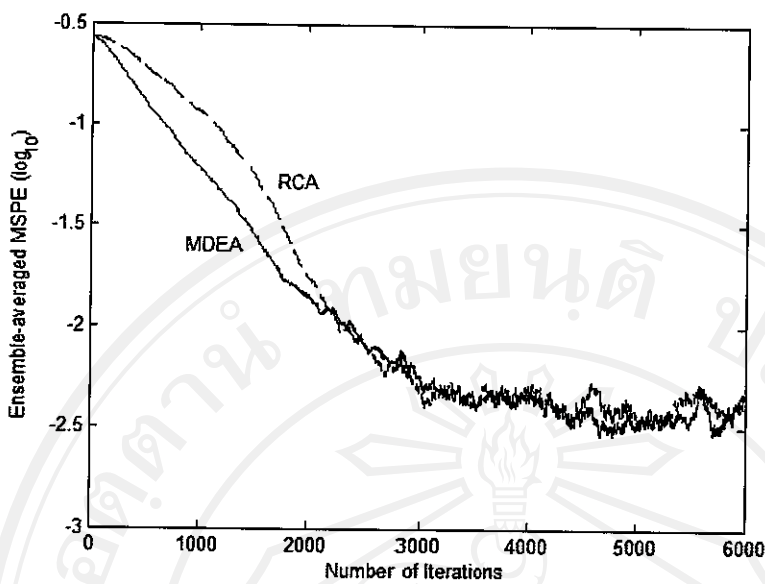
สำหรับการทดสอบบนสัญญาณข้อมูลแบบ 16-QAM นี้ เราพบว่า อัลกอริทึมดับเบิลอีลิพส์แบบโมดิฟายที่อัตราส่วนระหว่างแกนหลักและแกนรองเท่ากับ 2 นั้น ลดระดับค่าเฉลี่ยของกำลังสองของความผิดพลาดของเฟส ได้มากกว่าอัลกอริทึมรีคิวคอนสเตลเลชันมาก แต่อัลกอริทึมดับเบิลอีลิพส์แบบโมดิฟายที่อัตราส่วนระหว่างแกนหลักและแกนรองเท่ากับ 7 สามารถลดระดับค่าเฉลี่ยของกำลังสองของความผิดพลาดของเฟส ได้เร็วกว่าอัลกอริทึมรีคิวคอนสเตลเลชันในขณะที่ อัลกอริทึมดับเบิลอีลิพส์แบบโมดิฟายที่อัตราส่วนระหว่างแกนหลักและแกนรองเท่ากับ 22 นั้น ช่วงแรกจะสามารถทำงานได้เร็วกว่า แต่หลังจากนั้นความเร็วในการลดระดับค่าเฉลี่ยของกำลังสองของความผิดพลาดของเฟส จะช้าลง ประสิทธิภาพโดยรวมจะใกล้เคียงกับอัลกอริทึมรีคิวคอนสเตลเลชัน และในการทดสอบบนสัญญาณข้อมูลแบบ 64-QAM เราพบว่า สำหรับการทดสอบบนสัญญาณข้อมูลแบบ 16-QAM นี้ เราพบว่า อัลกอริทึมดับเบิลอีลิพส์แบบโมดิฟายที่อัตราส่วนระหว่างแกนหลักและแกนรองเท่ากับ 2 นั้น ลดระดับค่าเฉลี่ยของกำลังสองของความผิดพลาดของเฟส ได้มากกว่าอัลกอริทึมรีคิวคอนสเตลเลชันมาก แต่อัลกอริทึมดับเบิลอีลิพส์แบบโมดิฟายที่อัตราส่วนระหว่างแกนหลักและแกนรองเท่ากับ 7 สามารถลดระดับค่าเฉลี่ยของกำลังสองของความผิดพลาดของเฟส ได้เร็วกว่าอัลกอริทึมรีคิวคอนสเตลเลชันในขณะที่ อัลกอริทึมดับเบิลอีลิพส์แบบโมดิฟายที่อัตราส่วนระหว่างแกนหลักและแกนรองเท่ากับ 22 นั้น ความเร็วในการลดระดับค่าเฉลี่ยของกำลังสองของความผิดพลาดของเฟส ได้เร็วกว่าอัลกอริทึมรีคิวคอนสเตลเลชันเล็กน้อย



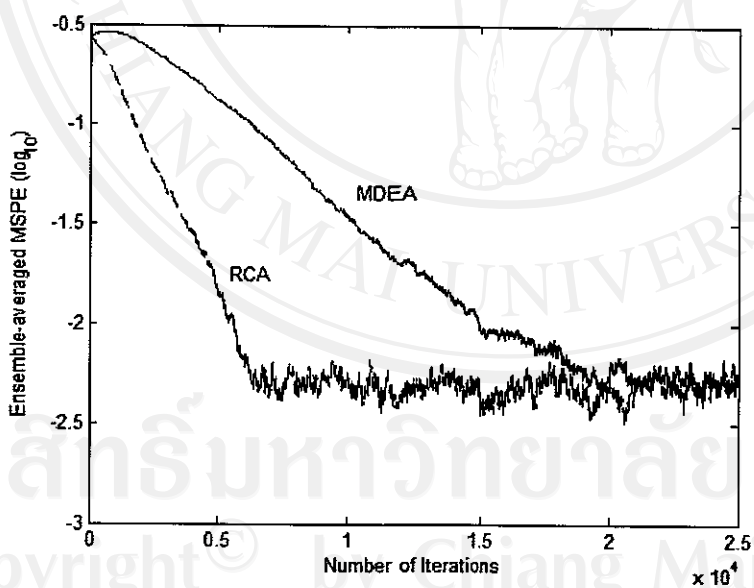
รูปที่ 5.29 แสดงระดับค่าเฉลี่ยของระดับค่าเฉลี่ยของกำลังสองของความผิดพลาดของเฟส สำหรับสัญญาณข้อมูลแบบ 16-QAM เมื่ออัลกอริทึมดับเบิลอีลิพส์แบบโนดิฟายมีอัตราส่วนระหว่างแกนหลักและแกนรองเท่ากับ 2



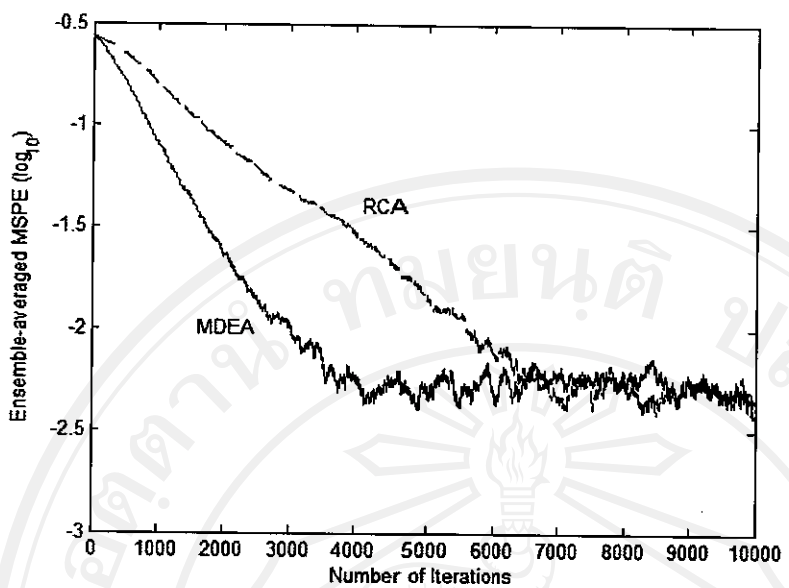
รูปที่ 5.30 แสดงระดับค่าเฉลี่ยของระดับค่าเฉลี่ยของกำลังสองของความผิดพลาดของเฟส สำหรับสัญญาณข้อมูลแบบ 16-QAM เมื่ออัลกอริทึมดับเบิลอีลิพส์แบบโนดิฟายมีอัตราส่วนระหว่างแกนหลักและแกนรองเท่ากับ 7



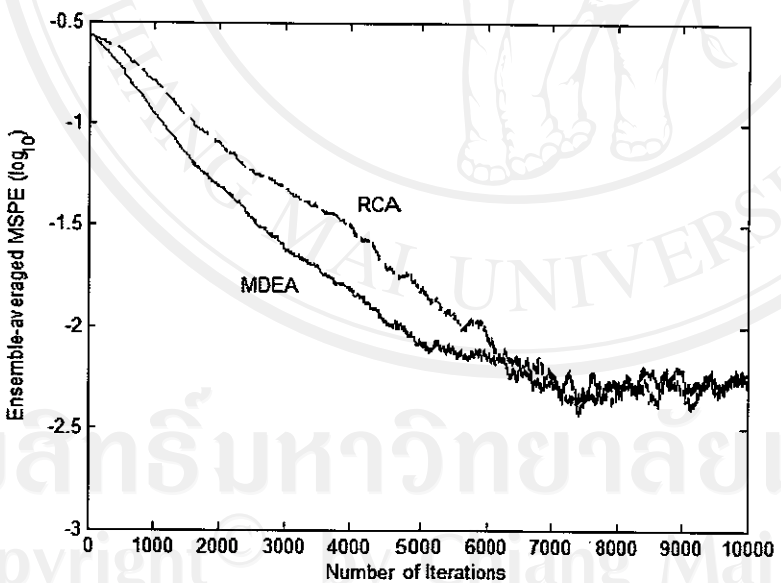
รูปที่ 5.31 แสดงระดับค่าเฉลี่ยของระดับค่าเฉลี่ยของกำลังสองของความผิดพลาดของเฟส สำหรับ สัญญาณข้อมูลแบบ 16-QAM เมื่ออัลกอริทึมดับเบลอีลิพส์แบบโมดิฟายมี อัตราส่วนระหว่างแกนหลักและแกนรองเท่ากับ 22



รูปที่ 5.32 แสดงระดับค่าเฉลี่ยของระดับค่าเฉลี่ยของกำลังสองของความผิดพลาดของเฟส สำหรับ สัญญาณข้อมูลแบบ 64-QAM เมื่ออัลกอริทึมดับเบลอีลิพส์แบบโมดิฟายมี อัตราส่วนระหว่างแกนหลักและแกนรองเท่ากับ 2



รูปที่ 5.33 แสดงระดับค่าเฉลี่ยของระดับค่าเฉลี่ยของกำลังสองของความผิดพลาดของเฟส สำหรับ สัญญาณข้อมูลแบบ 64-QAM เมื่ออัลกอริทึมดับเบิลอีลิพส์แบบโนดิฟายมี อัตราส่วนระหว่างแกนหลักและแกนรองเท่ากับ 7



รูปที่ 5.34 แสดงระดับค่าเฉลี่ยของระดับค่าเฉลี่ยของกำลังสองของความผิดพลาดของเฟส สำหรับ สัญญาณข้อมูลแบบ 64-QAM เมื่ออัลกอริทึมดับเบิลอีลิพส์แบบโนดิฟายมี อัตราส่วนระหว่างแกนหลักและแกนรองเท่ากับ 22

ในตารางที่ 5.5 และ 5.6 แสดงถึงปริมาณจำนวนข้อมูลที่ต้องการเพื่อลดระดับค่าเฉลี่ยของกำลังสองของความผิดพลาดของเฟสให้ได้ตามที่กำหนด เมื่อสัญญาณผ่านช่องสัญญาณที่แสดงไว้ในรูปที่ 1.1 และ 4.2 เราสามารถสรุปได้ว่า ค่าของอัตราส่วนระหว่างแกนหลักและแกนรองเท่ากับ 7 เป็นค่าที่ใช้ข้อมูลในการปรับเฟส น้อยสุด และช่วงของอัตราส่วนที่มากกว่า 7 จะมีประสิทธิภาพในการปรับเฟส ที่ใกล้เคียงกันเป็นช่วงๆ เช่น ช่วงอัตราส่วนระหว่างแกนหลักและแกนรองเท่ากับ 9 – 13 และช่วงของอัตราส่วนระหว่างแกนหลักและแกนรองเท่ากับ 15 – 20 แต่มีแนวโน้มที่จะทำงานได้ช้าลง

ตารางที่ 5.5 ค่าเฉลี่ยและค่าเบี่ยงเบนของจำนวนข้อมูลที่ต้องการเพื่อที่จะเข้าถึงระดับค่าเฉลี่ยของกำลังสองของความผิดพลาดของเฟส เท่ากับ -2.5 ที่ระดับอนินเตอร์ซิม โนบลอนเตอร์ไฟเบอร์ที่เท่ากับ -24 dB สำหรับอัตราส่วนระหว่างแกนหลักและแกนรองค่าๆ บนข้อมูลสัญญาณข้อมูลแบบ 16-QAM สำหรับอัตราส่วนที่มีค่าเบลวิลีพีส์แบบไมอดิฟาย

Ratio	Mean (10^3)	Variance (10^6)
2	8.6093	2.0986
3	5.314	3.8282
4	4.138	4.5919
5	2.9534	3.5737
6	2.0888	1.1706
7	1.9316	5.3635
8	2.0305	3.6448
9	2.1316	1.1745
10	2.4264	3.5702
11	2.4919	9.7231
12	2.4428	1.5636
13	2.5301	2.3942
14	2.874	4.0279
15	3.1065	2.4233
16	3.0745	3.611
17	3.165	2.0656
18	3.1895	3.6721
19	3.2508	1.9853
20	3.3832	1.7712
21	3.903	7.7863
22	4.0104	8.7623

ตารางที่ 5.6 ค่าเฉลี่ยและค่าเบี่ยงเบนของจำนวนข้อมูลที่ต้องการเพื่อที่จะเข้าถึงระดับค่าเฉลี่ยของกำลังสองของความผิดพลาดของเฟส เท่ากับ -2.4 ที่ระดับอนินเตอร์เซม โบลอินเตอร์เพียเรนซ์เท่ากับ -24 dB สำหรับอัตราส่วนระหว่างแกนหลักและแกนรองต่างๆ บนข้อมูลสัญญาณข้อมูลแบบ 64-QAM สำหรับอัลกอริทึมดับเบลอีลิปส์แบบโมดิฟาย

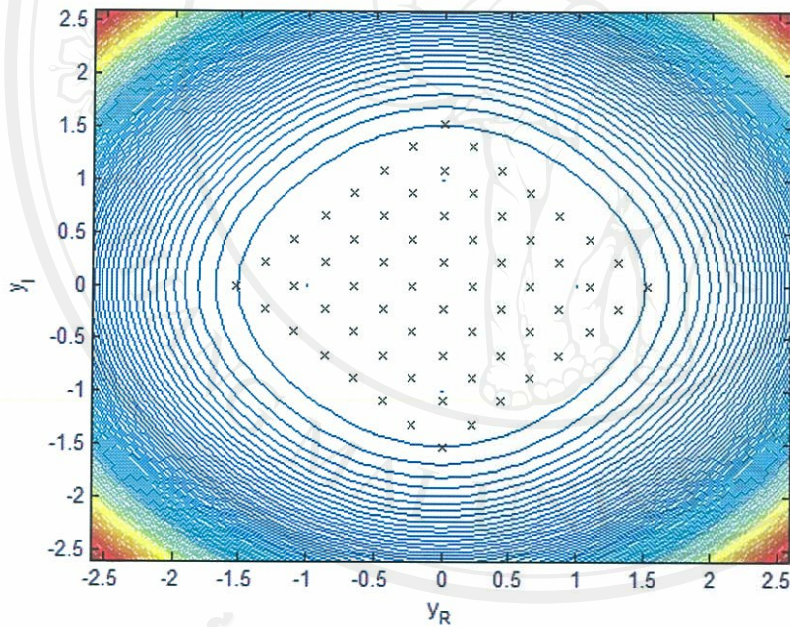
Ratio	Mean (10^3)	Variance (10^7)
2	8.5524	5.7181
3	4.8607	3.9959
4	3.9995	2.6686
5	3.8775	2.1867
6	3.8133	2.3144
7	3.6566	1.2493
8	3.7528	1.7438
9	3.8129	2.7692
10	3.7857	2.1346
11	3.9173	2.5181
12	4.014	2.4584
13	4.2127	4.082
14	4.3379	4.8835
15	4.4188	2.0601
16	4.3865	5.4047
17	4.4969	1.1592
18	4.4598	3.1341
19	4.4994	2.1487
20	4.5757	1.2037
21	4.6551	2.4416
22	4.7054	1.0159

5.5.1 สรุปการทดสอบค่าเฉลี่ยของกำลังสองของความผิดพลาดของเฟส

จากการทดสอบความสามารถในการลดระดับค่าเฉลี่ยของกำลังสองของความผิดพลาดของเฟส เราสามารถสรุปได้ว่า อัลกอริทึมดับเบลอีลิปส์แบบโมดิฟายจะมีประสิทธิภาพสูงสุด เมื่ออัตราส่วนระหว่างแกนหลักและแกนรองมีค่าอยู่ในช่วง $5 - 8$ หลักจากนั้นประสิทธิภาพของอัลกอริทึมดับเบลอีลิปส์แบบโมดิฟายจะลดลง ซึ่งสอดคล้องกับผลที่ได้จากการทดสอบการกำจัดอนินเตอร์เซม โบลอินเตอร์เพียเรนซ์

5.6 สรุปผลประสิทธิภาพของอัลกอริทึมดับเบิลอีลิพส์แบบโนมิดไฟย

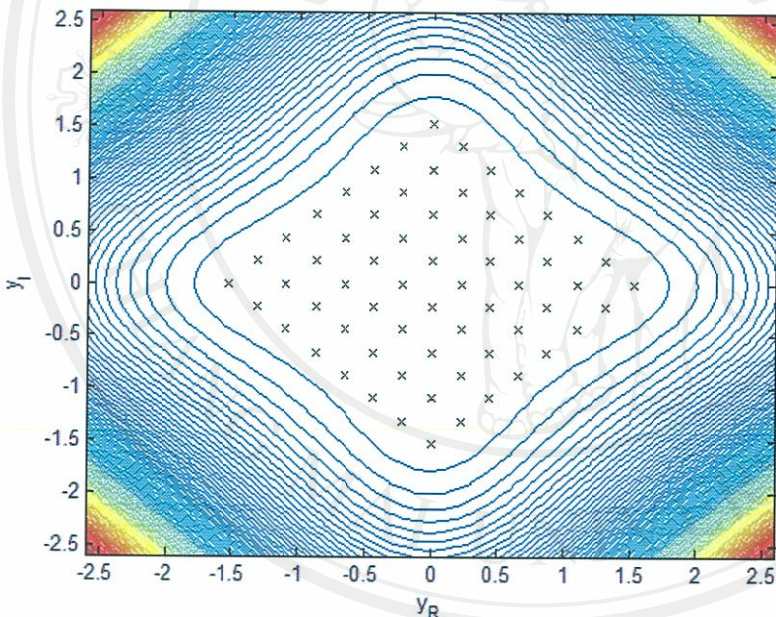
การทำงานของอัลกอริทึมดับเบิลอีลิพส์แบบโนมิดไฟยนี้ มีทั้งที่ประสิทธิภาพดีกว่าและด้อยกว่าอัลกอริทึมรีดิวคอนสแตตเลชัน ขึ้นอยู่กับขนาดของอัตราส่วนระหว่างแกนหลักและแกนรอง สาเหตุนี้ เช่นเดียวกันกับที่เกิดขึ้นบนอัลกอริทึมดับเบิลอีลิพส์แบบแอพอโซลูท การทำงานของอัลกอริทึมนี้ดับเบิลอีลิพส์แบบโนมิดไฟยในช่วงอัตราส่วนระหว่างแกนหลักและแกนรองที่ต่ำ 1.5 - 4 จะปรับเพสได้ช้ามาก ซึ่งความสามารถพิจารณาได้จากรูปที่ 5.35 เรายพบว่า โครงร่างในส่วนที่ใช้งาน มีความชันน้อยมากและมีรูปร่างคล้ายวงรีวงเดียว ประสิทธิภาพในการลดระดับของอินเตอร์ซิมโบล อินเตอร์เฟียเรนซ์จึงใกล้เคียงกับอัลกอริทึมคอนแสตนนมอดคูรัส และความสามารถในการปรับเพส ของผลลัพธ์จะดีกว่าอัลกอริทึมรีดิวคอนสแตตเลชัน



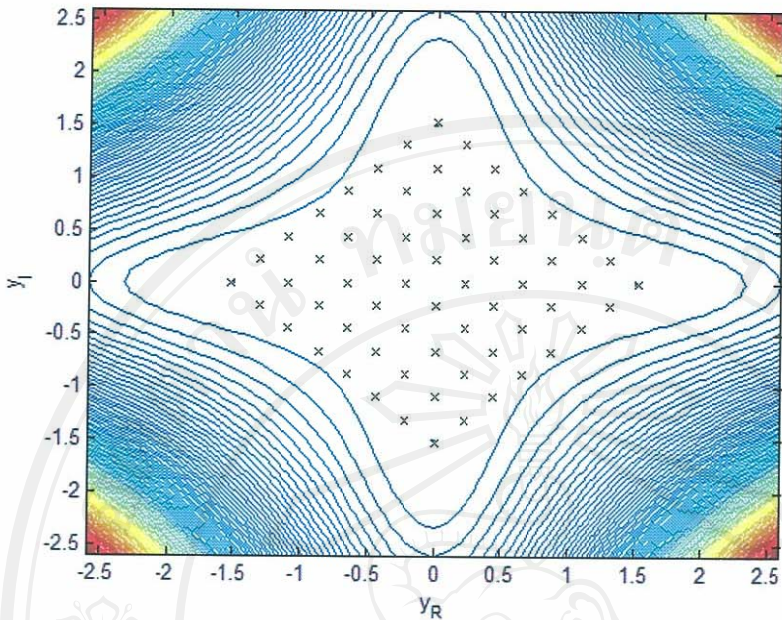
รูปที่ 5.35 ภาพมุมมองทางด้านบนของพื้นผิวค่าที่ฟังชันสำหรับอัลกอริทึมดับเบิลอีลิพส์แบบโนมิดไฟย และลักษณะคอนสแตตเลชันของสัญญาณข้อมูลแบบ 64-QAM เมื่ออัตราส่วนเท่ากับ 2

ในการตรวจกันข้าม เมื่ออัตราส่วนระหว่างแกนหลักและแกนรองเพิ่มมากขึ้นจนถึงช่วง 6 - 7 นั้น ลักษณะของความชันของพื้นผิวค่าที่ฟังกันมีการเปลี่ยนไป มีโครงสร้างที่คล้ายรูปดาวเกิดขึ้น จึงเป็นส่วนที่ช่วยในการเพิ่มความเร็วในการลดระดับของอินเตอร์ซิมโบล อินเตอร์เฟียเรนซ์ และปรับเพสของผลลัพธ์ให้เข้าหาคอนสแตตเลชันที่เหมาะสม กับอัลกอริทึมดับเบิลอีลิพส์แบบโนมิดไฟยจาก

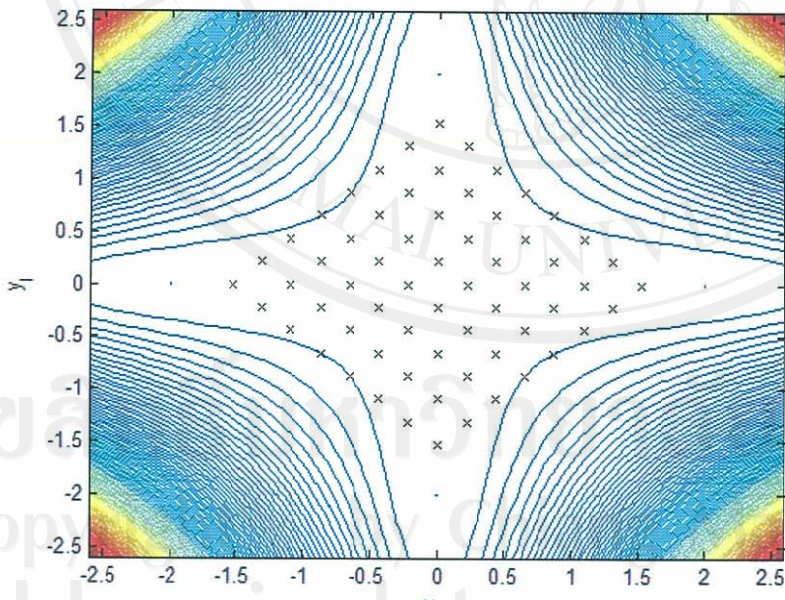
ทุกด้านของพื้นผิวค่าสหพัฟ์ชัน ข้อได้เปรียบนี้เกิดจากลักษณะของค่าอนสแตลเลชันของสัญญาณจะพอดีหรือใกล้เคียงกับโครงสร้างของค่าสหพัฟ์ชัน สามารถสังเกตุได้จากรูปที่ 5.36 แต่เมื่อเราเพิ่มขนาดของอัตราส่วนระหว่างแกนหลักและแกนรองให้มากขึ้น ตำแหน่งของความชันที่เคยใช้ในอัตราส่วนระหว่างแกนหลักและแกนรองซึ่ง 6 - 7 เริ่มออกห่าง สังเกตุได้จากส่วนปลายที่ยื่นออกไปจะออกห่างส่วนปลายของค่าอนสแตลเลชัน ทำให้ในการปรับเฟสของค่าอนสแตลเลชันของผลลัพธ์ไปถึงตำแหน่งที่เหมาะสมในบริเวณนั้นทำได้ช้าลง (พิจารณารูปที่ 5.37 และรูปที่ 5.38) โดยเราสามารถสังเกตุปรากฏการณ์นี้ได้จากรูปที่ 5.39 ซึ่งช่วยระบุว่าให้ความเร็วเท่ากัน แต่เมื่อลดระดับค่าเฉลี่ยของกำลังสองของความผิดพลาดของเฟสได้ถึงระดับหนึ่งก็จะทำงานช้าลง



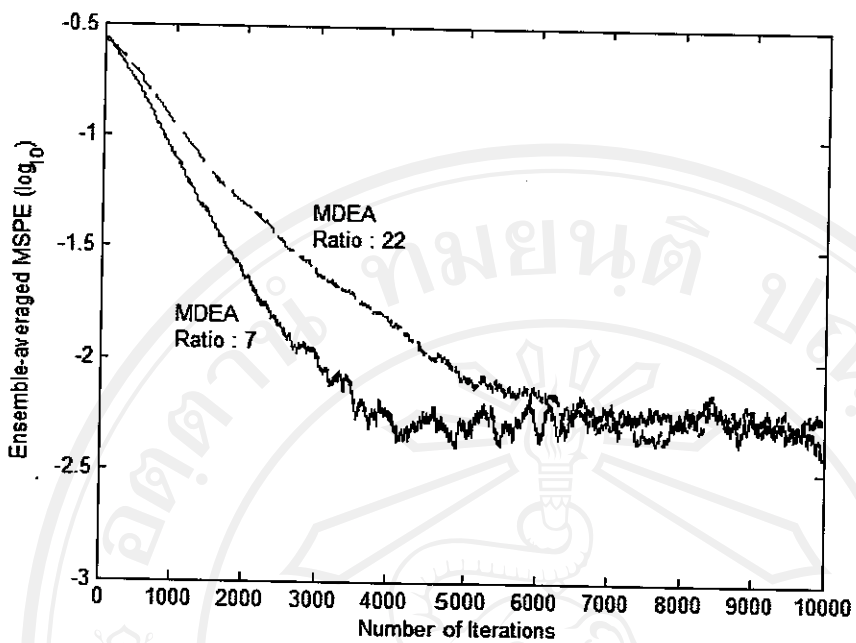
รูปที่ 5.36 ภาพมุมมองทางด้านบนของพื้นผิวค่าสหพัฟ์ชันสำหรับอัลกอริทึมคับเบิลอีลิปส์แบบโมดิฟายและลักษณะค่าอนสแตลเลชันของสัญญาณข้อมูลแบบ 64-QAM เมื่ออัตราส่วนเท่ากับ 7



รูปที่ 5.37 ภาพมุมมองทางด้านบนของพื้นผิวโคสท์ฟังชันสำหรับอัลกอริทึมดับเบิลอีลิพส์แบบไม่คิฟายและลักษณะคอนสแตลเลชันของสัญญาณข้อมูลแบบ 64-QAM เมื่ออัตราส่วนเท่ากับ 22



รูปที่ 5.38 ภาพมุมมองทางด้านบนของพื้นผิวโคสท์ฟังชันสำหรับอัลกอริทึมดับเบิลอีลิพส์แบบไม่คิฟายและลักษณะคอนสแตลเลชันของสัญญาณข้อมูลแบบ 64-QAM เมื่ออัตราส่วนเท่ากับ 50



รูปที่ 5.39 การเปรียบเทียบความเร็วในการลดระดับความผิดพลาดของเฟสของอัลกอริทึมดับเบิล อีลิพส์แบบโมดิฟายที่อัตราส่วนระหว่างแกนหลักและแกนรองเท่ากับ 7 และ 22